



# UNIVERSIDAD NACIONAL AUTONOMA DE MEXICO

## FACULTAD DE QUIMICA

PREPARACION DE LA PRUEBA DE AGLUTINACION EN LATEX PARA EL DIAGNOSTICO DE LA CRIPTOCOCOSIS.

T E S I S
QUE PARA OBTENER EL TITULO DE:
QUÍMICO FARMACEUTICO BIOLOGO
P R E S E N T A I
MA. DE JESUS OLEA SALGADO



TESIS CON México, D. F. FALLA DE CR.GEN

1993





# UNAM – Dirección General de Bibliotecas Tesis Digitales Restricciones de uso

# DERECHOS RESERVADOS © PROHIBIDA SU REPRODUCCIÓN TOTAL O PARCIAL

Todo el material contenido en esta tesis está protegido por la Ley Federal del Derecho de Autor (LFDA) de los Estados Unidos Mexicanos (México).

El uso de imágenes, fragmentos de videos, y demás material que sea objeto de protección de los derechos de autor, será exclusivamente para fines educativos e informativos y deberá citar la fuente donde la obtuvo mencionando el autor o autores. Cualquier uso distinto como el lucro, reproducción, edición o modificación, será perseguido y sancionado por el respectivo titular de los Derechos de Autor.

#### INDICE

	Pags
INTRODUCCION	1
PLANTEAMIENTO DEL PROBLEMA	
HIPOTESIS	13
OBJETIVOS	14
DISENO EXPERIMENTAL	15
MATERIAL Y METODOS	
1) Hongas	
2) Curva de crecimiento	
3) Obtencion del antigeno	17
4) Obtencion de suero hiperinmune anti- <u>Cryptococcus</u> <u>neoformans</u> .	20
5) Purificación de la fracción gamma-globulina	22
6) Sensibilización de las partículas de latex	23
<ol> <li>Determinación de la máxima dilución reactiva de suspensión de partículas de látex sensibilizadas con gamma globulina anti-<u>C. nepformans</u>.</li> </ol>	
<ol> <li>Muestras biológicas utilizadas en la prueba de aglutinación en látex (PAL)</li> </ol>	26
<ol> <li>Pesarrollo de la prueba para la determinación de antigeno polisacaridico en las muestras biológicas</li> </ol>	
RESULTADOS	29
DISCUSION	38
CONCLUSIONES	46
FIGURAS	54
TABLAS	
ANEXO	
BIBLIOGRAFIA	

#### INTRODUCCION

La criptococosis es una infección crónica, subaquda o raramente aguda, pulmonar, generalizada, o meningea, causada hongo levaduriforme oportunista, denominado Cryptococcus neoformans. Esta se adquiere a través de la inhalación de las blastoconidios. Por la via de entrada de este hongo la infección primaria casi siempre es pulmonar, y ser subclinica y transitoria, o comportarse como Entre los factores de oportunismo más oportunista. importantes que se asocian a esta enfermedad se encuentran: de corticoesteroides (53,102), trasplantados, deficiencia en numero o función de celulas T (72,102), de neutrófilos 0 macrófagos. enfermedad de (11,13,68,89), y recientemente ocurre en los pacientes con Inmunodeficiencia Adquirida Sindrome de (15,16,17,20,55,56). Aunque C. neoformans en la mayoría de los casos penetra al organismo por via respiratoria por ser neurofílico, facilmente se disemina por vía linfática y hematogena hacia el sistema nervioso central (13.89).

En 1874 Busse y Buschke aislaron en Alemania una levadura capsulada y la llamaron <u>Saccharomyces homminis</u>. En Italia en el mismo año, Sanfelice aislo de jugo de pera una levadura capsulada y la llamo <u>Saccharomyces neoformans</u>. En 1901 Vuillemin lo clasifico dentro del genero <u>Cryntosoccus</u>,

y finalmente se le clasifico como <u>Cryptococcus neoformans</u> por Lodder y Kreger-Van Rij en 1952 (13,45,89).

Los primeros aislamientos de C. neoformans que se reportaron ocurrieron a partir de frutas citricas ademas de duraznos, peras.etc., posteriormente se le aislo de leche v sus derivados: sin embargo, su habitat está asociado al excremento de palomas o de pichón y gallinas (89). tanto es común su aislamiento de nidos de pichones en âticos, cúpulas y cornizas. En este ambiente se encuentra compartiendo el sustrato alcalino rico en nitrogeno y sal con Geotrichum candidum, y unas cuantas especies de Candida y Rhodotorula (57,89). De esta forma las palomas y otras aves se convierten en hospederos o vectores que mantienen al microorganismo, pero no adquieren la enfermedad. atribuye a la temperatura corporal de estas aves que es de 40-42°C, en la cual el microorganismo sobrevive pero no se reproduce: pasa a través del intestino y es posible encontrarlo viable en las excretas de estas aves (13,89). No existe diferencia importante en la frecuencia de la infección, que pueda relacionarse con la edad, raza y Al parecer los trabajadores de establos. gallinaros y palomares estan mas expuestos a esta levadura e incluso tienen titulos de anticuerpos especificos altos. pero no presentan indice mayor de infección, ya que se requiere de factores predisponentes, en especial de severa

inmunodepresión para que esta enfermedad se establezca (89).

C. neoformans es un hongo levaduriforme capsulado que mide de 2.5 - 8 Km de diám y con todo y capsula llega a medir de 15-20 mm (13.89). La capsula varia con la cepa y con el medio que se utiliza. La gemación es sencilla o doble. Veces 58 observan Vari as Macroscopicamente las colonias se observan limitadas. mucoides, convexas, de color blanco-amarillento, y en agar alpiste negro (<u>Guizotia abyssinica</u>), se generan colonias con pigmento café-marron, que lo distingue entre otras especies géneros (1,47,84,95). Para poder diferenciar neoformans de otras especies de Cryptococcus, se utiliza un perfil biopuimico de carbohidratos (auxanograma). patogenicidad en el raton, desarrollo de pigmento en agar alpiste negro y crecimiento a 37°C (1.21.54). La capsula de C. neoformans es un factor de virulencia bien estudiado por diferentes autores (41.46.48.49.57.104). El analisis químico de esta, muestra la presencia de manosa, xilosa y Acido glucurónico: esta fraccion denominada glucoronoxilomanana (GXM), es el polisacárido específico principal producido por la levadura y que se ha encontrado también en el filtrado de cultivo de C. neoformans. Otra fracción hallada contiene galactosa como constituyente principal asi como xilosa y manosa, a ésta se le llamó galactoxilomanana (GalXM). La especificidad de serotipos recae en

El agente etiológico de esta micosis en su fase asexual es una levadura ampliamente distribuida en la maturaleza y unico agente causal de la criptococosis. Pertenece a la subdivision Deuteromycotina, orden Cryptococcales, familia Cryptococaceae y género <u>Cryptococcus</u> (13,89). Este hongo posee dos variedades: C. neoformans var. neoformans v C. neoformans var. gatti. Asi mismo Benham describio 4 serptipos : <u>C. neoformana</u> var <u>neoformana</u> serptipos A y D. y C. neoformans var <u>pattii</u> serotipos B y C (32,47,48,49,93). Ikeda et al. (47,48) estudiaron por medio del análisis antigénico (aglutinación en placa y métodos de adsorción) diferentes factores antigénicos para cada serotipo. los serotipos A y D reconocieron los factores 1,2,3,7 y 1,2,3 y 8 respectivamente. Para los serotipos 8 y C encontraron 1,2,4,5, y 1,4,6 respectivamente. descrito su fase sexual que pertenece a la subdivisión Basidiomycotina, ya que hasta ahora es el unico de los honoos patogenos que se reproduce sexualmente basidiosporas (61,57). Los estados perfectos corresponden a: Filobasidiella neoformans y E. bacillispora.

Debido a que la criptococosis es una enfermedad cosmopolita, se han reportado casos de diversas partes del mundo (7,18,22,62,80,90,94). Kwon-Chung y Bennett (7,57) han

encontrado que el serotipo A, es el mas común de un hábitat natural o clínico, y en E.E.U.U. corresponde al 95% de los casos clínicos.

El serotipo D es comun en la mayor parte de Europa (Italia, Dinamarca, Alemania y Suiza) y otras regiones de clima templado. En el sur de California 25 de 45 aislamientos demuestran el serotipo C de la var. gattii (57). En los pacientes con SIDA, en E.E.U.U. la mayoría de los aislamientos pertenecen a la var. neoformans así como en Africa central y en todo el mundo (20,57,62,90,92). Recientemente se han reportado casos de infección con C. albidus en pacientes con SIDA (57,89).

En México se ha aíslado de frutas, leche, excretas de paloma, y del suelo(18). Sin embargo, en nuestro país la epidemiologia de esta enfermedad no está bien establecida, ya que no existen datos epidemiológicos sobre las zonas endémicas de este microorganismo(65). Pero es claro que con el advenimiento del SIDA la incidencia de criptococosis se ha incrementado notablemente(114.15.38).

Según Bonifaz (13), la criptococosis presenta clinicamente las siguientes formas: Pulmonar (23%), del sistema nervioso central SNC (45%), cutánea (10%), diseminada (15%), y ósea (5%).

La criptococosis pulmonar (17,89) en el ser humano casi siempre es la forma primaria de infección y en la mayoría de

los casos cursa en forma asintomática o subclinica. Los pocos casos sintomáticos incluyen: fiebre ligera, dolor pleurótico, malestar y pérdida de peso, aunque estos signos son poco notables, también se produce esputo mucoide escaso, y rara vez hemoptisis. Las lesiones se pueden desarrollar en cualquier parte del pulmon. A menudo son bilaterales, aunque se pueden presentar en un solo lobulo. Es posible que se confunda con infecciones neumococcicas, tuberculosis, El curso de la infección puede ser fulminante, o resolverse espontáneamente. A la exploración física se detecta murmullo vesicular y estertores inconstantes. rayos X dan una variedad de imágenes: infiltración que simula tuberculosis, neoplasias, abcesos pulmonares,etc (13.29). La forma clinica del SNC también frecuente (5.19.23), actualmente se ha incrementado notablemente en los pacientes con SIDA. Se origina a partir del foco pulmonar, posterior a una diseminación hematogena (estado secundario). La criptococosis del SNC puede presentarse de tres formas: meningitis (97 %), meningoencefalitis (2 %), y criptococomas (1 %) (5,13,88,89). La meningitis es la más frequente, se manifiesta en forma crónica y gradual (13.19). La meningoencefalitis es una variedad clinica rara, casi siemore de curso aqudo y fulminante (13,33,89). Por último, el criptococoma es una variedad extraordinariamente rara, se conforma de masas fungicas que desarrollan principalmente en el cerebro, en forma de abcesos que regularmente se confunden con neoplasias (64). La predileccion del <u>C. neoformans</u> hacia SNC, no es muy clara, es probable que el microorganismo encuentre menor respuesta celular fagocífica(26,33,44,52,75), ademas de la presencia de sustancias como la asparagina y creatinina que estimulan su desarrollo (7,84,89), así como la presencia de catecolaminas en el cerebro, relacionadas con el sustrato de la fenol oxidasa presente en el microorganismo (60,84,85,88).

Debe mentionarse que investigaciones recientes, en pacientes con SIDA, han demostrado la persistencia de C. neoformans en el tracto urogenital, aun después de tratamiento exhaustivo de la meningitis criptocóccica, sin presentar sintomatología clínica, ni hallazgos micológicos positivos en suero, líquido cefalorraquideo (LCR), y orina. Sin embargo los cultivos y frotis de líquido seminal se han encontrado positivos. En consecuencia, varios autores (17,38,96,97,98) consideran a la próstata como nicho de C. neoformans, probablemente debido a que la terapia con los derivados azólicos es efectiva en casi todos los organos del cuerpo, con excepción del tracto urogenital.

El tratamiento de la criptococosis es a base de anfotericina B administrada con las indicaciones del fármaco por su elevada toxicidad (5,27,56,91,100). La 5-fluoro-

citosina (5-FC) también es útil, sin embargo su efecto terapeútico es inferior al obtenido con anfotericina B, además puede producirse resistencia al fármaco durante el tratamiento con 5-FC (5,27,56,100), y el fluconazol, de reciente creación (5,16,50,62,69,103), que tiene un gran efecto contra <u>C. neoformans</u>, además atraviesa la barrera hematoencefálica y casi no provoca efectos secundarios. Los esquemas terapeúticos combinados como anfotericina B más 5-fluorocitosina (23,56) y sobre todo anfotericina B con fluconazol han demostrado sinergia contra <u>C. neoformans</u> (103,104), obteniéndose así mejores resultados terapeúticos. Sin embargo, es claro que el éxito de la terapia depende de la rapidez del diagnóstico y del estado del paciente.

El diagnóstico de Laboratorio de esta enfermedad se realiza por medio de diferentes pruebas. Entre ellas el examen directo de material clinico con tinta China y por cultivo (12,13,34,54,92). Además se cuenta con técnicas serológicas utilizadas de forma rutinaria en países desarrollados, tanto para la detección de antigeno circulante como para la determinación de anticuerpos (3,4,22,34,51,63,68).

Las pruebas serológicas para medir los niveles de anticuerpos incluyen: La inmunoflourescencia indirecta (IFI), hemaglutinación, floculación con bentonita,

aglutinación de particulas de carbón vegetal. aglutinación en tubo, fijación de complemento, etc. Ninguno de los métodos anteriores han sido ampliamente usados debido a que la producción de anticuerpos durante la infección es baja. sin embargo. el polisacárido criptocóccico es liberado en gran abundancia hacia los fluidos corporales, por esta razón se introdujeron técnicas para detectar la presencia de éste como antigeno circulante (46,51,73,77,87,101). Autores como Neill y Kapros reportaron en 1950 (68) que el antigeno pudo ser detectado en tejidos de ratones, y fue demostrado por precipitación con suero hiperinmune específico. Posteriormente se demostro al antigeno soluble en LCR, orina y sangre de pacientes con criptococosis sistémica (9,10,22,62,80). Estas pruebas incluyen técnicas tales como la fijación de complemento, inhibición de la hemaglutinación, precipitación, contrainmunoelectroforesis y la prueba de aclutinación en látex (22,37,51,63,68,80,81,86).

En la actualidad la prueba de diagnóstico y pronostico mas utilizada es la prueba de aglutinación de partículas de latex, establecida por Bloomfield en 1962 (10) quien sugirió que el antigeno podía ser detectado con partículas de latex cubiertas con inmunoglobulinas de suero de conejo hiperinmune. Bennett y Bayley (68) consideraron la prueba como satisfactoria, cuando las partículas de latex aglutinaron en presencia de 30 a 60 mg de polisacarido

Sin embargo, debido a que se han reportado reacciones de cruce con el factor reumatoide (6.10.30.43.99) y con Trichosporum beigelii (70.83), generando una fuente importante de falsos positivos, se sugiere incluir en la prueba de aglutinación en látex un reactivo control para evitar estas reacciones de cruce, el cual consiste en una suspensión de particulas de lätex cubiertas inmunoglobulina de conejos no inmunizados. Tales partículas aglutinan en presencia del FR en proporciones comparables a las obtenidas con particulas sensibilizadas. Existen además tratamientos las muestras COMO ditiotreitol mercaptoetanol. para incrementar sensibilidad y disminuir las interferencias (36,39,41,87). Tomando en consideración tanto el reactivo de particulas inespecíficas como el tratamiento con sustancias como las antes mencionadas se puede distinguir entre la aglutinación de latex especifica mediada por el antigeno criptococal, de las aglutinaciones inespecíficas como la dada por el factor reumatoide. Con el fin de evaluar el progreso de un paciente durante el tratamiento, la prueba debe combinarse con la detección de anticuerpos(81.87). La disminución en el título de antigeno con el aumento de anticuerpos, es de buen pronóstico. Sin embargo, la persistencia de los títulos de antigeno durante el curso del tratamiento, denota pronostico ` orave y probabilidad de recaida. En algunas ocasiones, los

titulos de antigeno en el suero persisten positivos mientras que los del LCR descienden. Por tanto la alta sensibilidad y especificidad de la prueba de aglutinación en latex y su facil desarrollo la hace una de las pruebas serológicas más confiables para ésta micosis.

#### PLANTEAMIENTO DEL PROBLEMA.

Debido al aumento en la frecuencia de criptococosis, sobre todo en pacientes con SIDA en nuestro país, y a la falta de reactivos serológicos para el diagnóstico inmunológico de esta enfermedad, se planteo la necesidad de obtener los reactivos necesarios, a partir de cepas de C. neoformena aisladas de pacientes en México, para poder contar con la prueba de aglutinación en látex para el diagnóstico serológico de esta micosis.

#### HIPOTESIS

La prueba de aglutinación en Latex desarrollada a partir de cepas mexicanas de <u>Cryptococcus</u> neoformans es capaz de detectar el polisacárido capsular criptococcico como antigeno circulante en pacientes con criptococosis.

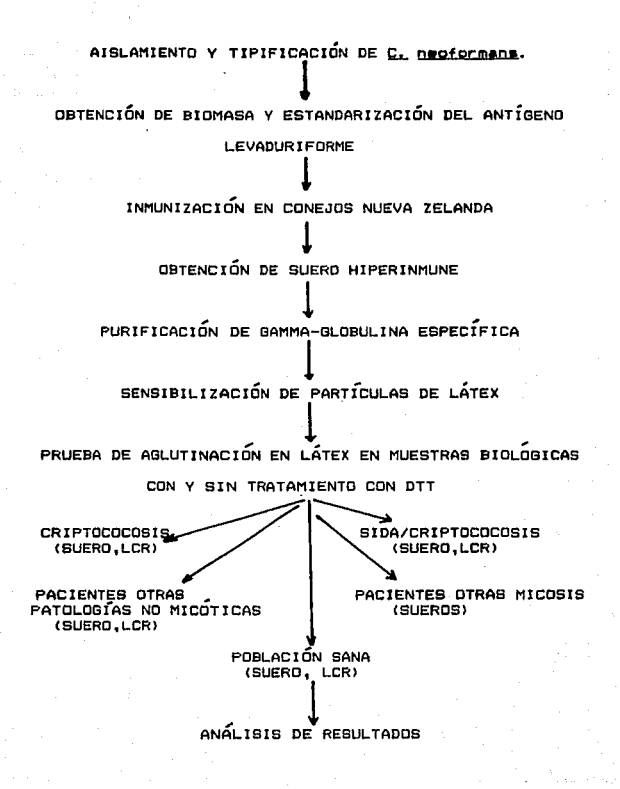
#### OBJETIVOS

- A) Aislar y tipificar bioquimicamente diferentes cepas de C. neoformans.
  - B) Seleccionar la cepa

adecuada para elaborar los reactivos de la prueba de aglutinación en látex.

- C) Obtener los reactivos para la prueba de aglutinación en latex para el diagnóstico de la criptococosis.
- D) Probar la eficiencia de estos reactivos en la prueba de aglutinación en latex en fluidos corporales (suero y LCR) de cinco grupos de individuos con:
  - 1) criptococosis
  - 2) SIDA y criptococosis
  - 3) otras micosis
  - 4) otras patologías no micoticas y
  - 5) grupo testigo de individuos sanos.

#### DISERO EXPERIMENTAL.



#### MATERIALES Y METODOS

#### 1) Hongast

Las capas EH-169, EH-170 y EH-171 de Cryptococcus neoformans, fueron aisladas de pacientes con criptococosis. Se mantuvieron en agar de dextrosa 2% y peptona 1% Sabouraud (Anexo 1) a 26°C. El hongo se identificó por medio de sus características micro y macroscópicas en diferentes medios de cultivo (Anexo 1) como son: Agar dextrosa Sabouraud, agar alpiste negro, en el cual produce un pigmento color marrón; agar nitritos, medio que contiene KNOs en el cual el hongo se distingue por no reducir este sustrato a nitritos. Además de los diferentes medios de cultivo, se realizaron las pruebas de crecimiento a 37°C, patogenicidad en el raton, auxanograma y determinación de ureasa en la cual el desarrollo de un color fucsia indica prueba positiva para C. neoformans (Anexo 1). La variedad de las cepas se realizó por medio del agar glicina rojo de fenol (Anexo 1) en el cual la variedad gattii produce un cambio de color del rojo al amarillo (71,93).

#### 2) Curve de crecimiento:

Para determinar la fase logarítmica de crecimiento de <u>C. neoformans</u> para la obtención del antígeno, se realizó una curva de crecimiento (2,82). Se preparó un precultivo con medio dializado de neopeptona y extracto de levadura (Anexo i) en matraces de 250 ml conteniendo 80 ml de medio. Se inoculó con i x 10<sup>6</sup> cel/ml y se incubó a 37°C en agitación por tres dias. Al cabo de este tiempo se cosecharon las células, las cuales fueron lavadas y utilizadas a una concentración de i x 10° cel/ml para inocular matraces de un litro conteniendo 200 ml del mismo medio. Los cultivos se incubaron a 37°C en agitación y se tomaron muestras diarias durante 7 días. Las muestras se centrifugaron y al sobrenadante se le determinó glucosa por el método de la o-toluidina (Anexo 1). La curva de crecimiento se realizó por triolicado.

#### 3) Obtención del antigeno

Se tuvieron 5 distintas fuentes de obtención del antigeno del hongo para la preparación del suero hiperinmune anti-C.neoformans de conejo.

- a) Células completas levaduriformes muertas por timerosal.
- b) Células secas con acetona.
- c/ Antigeno extraido con urea.
- d) Células completas muertas por calentamiento.

#### e) Antigeno polisacaridico soluble.

Todos los antigenos fueron cosechados en la fase

### a) Células completas levaduriformes muertas por timerosal (43,46,76):

Se inocularon ix 10° cel/ml de <u>C. neoformans</u> en matraces de un litro en caldo de dextrosa Sabouraud (Anexo 1), y se incubaron a 37°C durante 72 h en agitación. Se agregó timerosal a una concentración final de 0.02% durante 24 h a 4°C y se realizaron pruebas de esterilidad y viabilidad. Las células fueron lavadas con solución salina y se ajustaron a una concentración de 11x10° cel/ml. Esta suspensión se almacenó en alicuotas en viales estériles y se mantuvieron a 4°C hasta su utilizacion.

#### b) Células secas con acetona (67):

Para la obtención de éste antigeno, se siguió el mismo procedimiento anterior. El paquete celular obtenido se lavó 4 veces con acetona anhidra fria, se mantuvo en desecador y el polvo resultante se almacenó a 4°C hasta su utilización.

#### c) antigeno extraído con urea:

La obtención de este antigeno se realizó de acuerdo a la técnica de Bennett (8). Se inocularon ixioº cel/ml del hongo en caldo dextrosa Sabouraud y se incubaron a 37°C por 72 h en agitación. Posteriormente, las células se lavaron 3 veces con solución salina. El paquete celular se mezcló con urea ii.6 M ésteril en proporción de i ml de urea por i g de peso húmedo celular. La mezcla se mantuvo por 72 h a 4°C en agitación. El sobrenadante fue separado del paquete celular por centrifugación, el cual se dializó contra solución salina isotónica estéril durante 72 h. El extracto dializado se filtro en condiciones estériles. Se le determino la concentración de proteínas por el método de Lowry et al (66) y carbohidratos por Dubois et al (28). Este antigeno se empleó como refuerzo durante la inmunización de los conejos.

#### d) Células muertas por calentamiento:

Para la obtención de este antígeno se siguió el mismo procedimiento que en (a). El matraz con las células se llevó a ebullición durante 2 hrs según el procedimiento de Dolan (24,47). Inmediatamente después se centrifugaron y se lavaron las células con solución salina estéril. Las células se almacenaron en viales a 4°C, hasta su utilización.

#### e) antigeno polisacaridico soluble:

La obtención de este antigeno se realizó siguiendo el procedimiento de Evans y Theriault (35,40,73,74) con el filtrado del cultivo de las levaduras, preparadas de igual manera que para el primer antigeno. Se separaron las células del filtrado, y a éste se le agrego etanol al 96% (4.5 volumenes de etanol por cada volumen de filtrado. con 0.1% de acetato de sodio). Se mantuvo 24 h a 4°C, y se centrifugò para obtener el precipitado. el cual se disolvió en la minima cantidad de agua necesaria. Este procedimiento se repitió 3 veces. Después de determinar la ausencia de proteina por el método de Lowry, el precipitado se secó con acetona anhidra fria durante 24 h y se conservó a 4°C. Este antigeno se utilizó como control positivo para la prueba de aclutinación en látex ajustado a una concentración de 10 Ag de polisacarido /ml (6,4).

## Obtención de suero hiperinaune anti-<u>Cryptococcus</u> <u>neoformans</u> de conejo:

Para obtener el suero hiperinmune de conejo, se practicaron los siguientes esquemas de inmunización:

a) Esquema de Harrell et al. (42). Se inocularon conejos Nueva Zelanda con células completas levaduriformes muertas por medio de tratamiento con timerosal al 0.02%, por via intravenosa, diariamente por cinco días seguidos durante

#### tres semanas.

- b) Esquema de Dolan et al. (24,47). Los conejos se inocularon con el antigeno de células muertas por calentamiento vía intravenosa cada tres días durante cuatro semanas.
- c) Esquema practicado con células secas con acetona (67). Se utilizó como antigeno células secas con acetona administradas al conejo por via intravenosa cada tres dias durante tres semanas.
- d) Esquema de Dolan <u>et al</u>., modificado de la siguiente manera. Se utilizo como antigeno, células muertas por calentamiento mezcladas con adyuvante completo de Freund(3), inoculadas al conejo por via subcutánea cada semana durante cuatro semanas. Después se continuó con el esquema de inmunización via intravenosa de la misma forma que en b).

Los animales se sangraron 1 semana después del final del esquema de sensibilización y en el suero se determinó el título de anticuerpos, por medio de aglutinación en tubo(37,42,81) utilizando como antigeno células muertas por timerosal (antígeno 1). La prueba se realizó mezclando 0.5 ml de antisuero en díluciones seriadas dobles con 0.5 ml de antígeno ajustado al tubo # 2 de McFarland (6x10° cel/ml).

La prueba se leyó 2 h después de incubación a 37°C y a las 24 h a 4°C. Cuando los títulos dieron >1:640 los comejos se sangraron a blancó, se separó el suero y se guardó en alícuotas a -45°C hasta su utilización.

#### 5) Purificación de la fracción Gamma-globulina:

Para obtener las inmuncolobulinas específicas del suero hiperinmune de conejo, se siquió la técnica descrita por Hudson & Hav (45). Se preparó una solución saturada de  $(NH4)_{2}SO4$  (1 g/ml) a 50°C y we ajusto el pH a 7.2 con H<sub>2</sub>SO4. El suero hiperinmune de conejo se diluyó 1:2 con solución salina y se añadió lentamente la solución saturada de sulfato de amonio a una concentración de 45% (v/v). mantuvo en agitación durante 30 min., y luego se centrifugó a 1000 g por 15 minutos a 4°C. El precipitado se volvió a lavar con solución saturada de amonio por centrifugación, y el sedimento resultante se redisolvió en un volumen igual al del suero original con solución amortiguadora de fosfatos (SAF) (Anexo 1), esta solución se centrifugó para remover el material insoluble. Se reprecipitó la gamma-globulina usando una concentración final de 40% de solución de sulfato Se lavo por centrifugación y el sedimento se de amonio. disolvió en la minima cantidad de SAF. Se dializó la gammaolobulina contra 5 cambios de SAF a 4°C. Se centrifucó v desecho el precipitado. La solución de gamma-globulina se ajusto a 40 mg proteina/ml y se almaceno a -45°C hasta su uso.

#### 6) Sensibilización de las partículas de látex:

Se ensayaron dos métodos, uno según la técnica Harrell et al. (42) y otro según Hudson y Hay (45). primera se hizo por separado una suspensión estándar de particulas de látex de diámetro 0.80 gm (Bigaux), y de 0.81 am de fabricación nacional, en agua destilada cuya dilución 1:100 correspondió a una D:O de 0.29-0.30 a 650 nm. sensibilización de las particulas de látex se desarrolló de la siquiente manera: Se prepararon diluciones seriadas dobles de la fracción de gamma-globulina anti-C. neoformans, desde 1:100 hasta 1:1600 con solución amortiguadora de salina-glicina pH 9.0 (Anexo 1). Se agreçó un volumen de la suspensión de particulas de látex estandarizada anteriormente a un volumen de cada dilución de gammaglobulina anti-<u>C. neoformans</u>. Se mezclaron y se incubaron durante 15 min a temperatura ambiente. Este correspondió al reactivo de látex gamma-globulina anti-C. neoformans (LACN) o reactivo positivo. El reactivo negativo consistió de una suspensión de partículas de látex sensibilizadas con gammaglobulina normal de conejo (LGGN)(preparado por el mismo procedimiento del testigo positivo).

En la segunda técnica, de la suspensión original de particulas de látex de 0.81 fm al 30% se preparó una suspensión al 10%. De ésta se tomaron 800 fl y se lavaron dos veces con 40 ml de solución amortiguadora de glicina-

salina 0.054 M pH 8.2 (Anexo 1). Se mezclaron y centrifugaron a 12,500 g a 4°C durante 15 minutos. Se resuspendió el precipitado de látex en 20 ml de la solución amortiquado~ ra de glicina-salina y se agregaron 300 gl de la gammaglobulina hiperinmune anti-C. neoformans. Este será el reactivo LACN. La suspensión se mezcló durante 30 minutos a A diferencia de la técnica anterior temperatura ambiente. se lavó la suspensión de LACN con 40 ml de la solución amortiguadora de glicina-salina, se mezcló y se centrifugó a 12,500 q a 4°C por 15 minutos. Se resuspendió el LACN en 20 ml de solución amortiguadora de glicina-salina 0.27 M pM 8.2 (Anexo 1), agregando albúmina sérica bovina al 0.1% para bloquear posibles sitios libres en el latex. Siguiendo el procedimiento anterior se preparó el testigo negativo (LGGN). Ambos se almacenaron a 4°C hasta su uso.

7) Determinación de la máxima dilución reactiva de la suspensión de partículas de látex sensibilizadas con gameaglobulina anti-<u>C.neoformans</u> (LACN).

La máxima dilución reactiva de la fracción de gammaglobulina anti-<u>C. neoformans</u> según Harrell <u>et al</u>.(42), se determinó probando cada dilución de una muestra (suero ó LCR) de referencia positiva proveniente de un paciente con criptococosis contra cada preparación de particulas de látex sensibilizadas con gamma-globulina anti-<u>C. neoformans</u> (LACN) preparadas con anterioridad. Las diluciones seriadas dobles de suero y LCR de referencia se realizaron con la misma solución amortiguadora de fosfatos (SAF), y albúmina sérica bovina al 0.1 % (Anexo 1) para bloquear posibles sitios libres en el látex.

En una placa de vidrio oscura marcada con 10 circulos, se agregó a cada uno 0.02 ml de la suspensión de LACN de concentración 1:100, en seguida se agregaron 0.02 ml de la dilución respectiva del suero de referencia positivo a criptococosis (1:2-1:1024) a cada una de las gotas de la suspensión de LACN colocadas en la placa de vidrio. Se mezclaron y agitaron por 10 minutos a 100 rpm en un agitador rotatorio (Rotator Eberbach Corporation 115 AC). Este procedimiento se repitió con cada una de las siguientes diluciones de las suspensiones de LACN (1:200 a 1:1600). Se observó la aglutinación y los resultados se registraron desde 0-1+ como negativo y de 2+ hasta 4+ como positivo. Se tomó como la dilución máxima reactiva la suspensión del reactivo LACN que aglutino con la dilución más alta del suero de referencia. El reactivo se almaceno a 4-6°C.

Para encontrar la dilución máxima reactiva del LACN siguiendo el procedimiento de Hudson y Hay (45), se prepararon suspensiones de LACN concentrado y diluido 1:2, 1:3, 1:4 y 1:5 y diluciones seriadas dobles (1:2-1:128) de suero y LCR de referencia con amortiguador de glicina-salina 0.27 M, pH 8.2. Sobre una placa de vidrio oscura se

agregaron por separado 25 gl de cada una de las diluciones anteriores del suero de referencia, y a cada dilución se le agregaron 25 µl del LACN concentrado. Se agitó la placa durante 10 minutos en un agitador (Rotator Eberbach Corporation 115 AC) y se leyó la dilución máxima reactiva. Este procedimiento se repitió para cada una de las diferentes concentraciones (1:2-1:5) de las suspensiones de LACN. En ambos métodos el LGGN se ajustó a la misma dilución reactiva que presentó el LACN.

## . 8) Muestras biológicas utilizadas en la Prueba de Aglutinación en Látex (PAL).

Se utilizó suero y liquido cefalorraquideo (LCR) de cuatro grupos de pacientes y suero de un grupo de individuos sanos. primer grupo comprendió 8 pacientes criptococosis; el segundo de 8 pacientes con SIDA y criptococosis; el tercero de 4 pacientes con otras micosis, en las cuales se incluveron un suero de un caso de candidosis sistémica, un LCR de un caso de aspergilosis y dos sueros mas de de histoplasmosis paracoccidiodiomicosis respectivamente; y el cuarto que incluvo 16 pacientes con diversas patologías no micóticas. El grupo testigo comprendió 9 individuos sanos que donaron voluntariamente sangre de la cual se obtuvo el suero para la PAL (Table 3).

 9) Desarrollo de la prueba para determinación del antigeno polisacaridico en las muestras biológicas.

La detección del antigeno polisacaridico neoformans en sueros У LCR mediante la prueba aglutinación en latex (PAL) con los reactivos LACN y LGGN correspondientes a la máxima dilucion reactiva determinada anteriormente, se realizó por dos metodologías distintas: Por el método de Harrell et al. (42,81) y por la técnica de Hudson & Hay (45). Las muestras de suero fueron inactivadas a 56°C durante 30 minutos y las de LCR a 100°C durante 5 minutos. Las muestras problema se diluyeron desde 1:2 hasta 1:64, usando como diluyente solución amortiguadora glicina-salina pH 9.0 (Anexo 1).

Primero, según el método de Harrell et al. (42), sobre una placa oscura marcada con 6 círculos, se colocaron de forma individual 0.04 ml de cada dilución de la muestra problema, más 0.02 ml del reactivo LACN en todos los círculos, y en otra placa con las mismas características se colocaron 0.04 ml de cada dilución de muestra, más 0.02 ml del reactivo LGGN.

Para el método de Hudson & Hay, se colocaron cantidades iguales de reactivo LACN y muestra problema diluida(0.04 ml más 0.04 ml respectivamente), lo mismo para probar la muestra con el reactivo LGGN. Con la ayuda de un aplicador se mezclaron los reactivos y las muestras. Las placas se

agitaron a 125 rpm durante cinco minutos y se leyeron las reacciones. Aquellas que presentaron una aglutinación de O a 1+ se consideraron negativas, aquellas que presentaron una aglutinación de 2+ a 4+ se consideraron positivas. El reactivo LGGN es el reactivo testigo, debido a que contiene inmunoglobulinas normales de conejo, por lo tanto el resultado debe ser siempre negativo.

A las muestras problema se les determinó al mismo tiempo la presencia de factor reumatoide (FR) (Laboratorios Licon. México) de acuerdo a las instrucciones del fabricante, ya que hay antecedentes de reacciones falsas positivas cuando existe FR en las muestras biológicas (6,10,30,43). Aquellas muestras que presentaron factor reumatoide positivo se les realizó un tratamiento CDN Ditiotreitol (DTT) eliminarlo (36,99). Este consistió en adicionar una solución de DTT 0.003 M en amortiquador tris-HCl al 0.2 M pH 8.6 (Anexo 1), a volúmenes iquales de la muestra inactivada por calentamiento durante 1 h a temperatura ambiente. Después de este tratamiento se determinó nuevamente la presencia del antigeno criptocóccico.

Las tres cepas EH-169, EH 170 y EH 171 aisladas de pacientes crecieron a 28°C y a 37°C y presentaron morfologia macroscópica característica del hongo que consistió de colonias mucoides, convexas, limitadas, de color blanco a beige en los medios de agar dextrosa Sabouraud (ADS) infusion cerebro-corazón agar de Además mostraron un pigmento café-marron (BHI)(Figura 1). en el medio de agar alpiste negro (<u>Guizotia abyssinica</u>) (Figura 2).

La observación microscópica por la técnica de tinta China reveló levaduras en gemación rodeadas de una pequeña cápsula, en las cepas EH-169 y EH-171, sin embargo en la cepa EH-170 se observa una cápsula de diámetro mayor (Figura 3). Utilizando la técnica con fucsina básica (Ziehl-Neelsen) se observaron levaduras de color rosa con las mismas características anteriores.

Las cepas EH-169, EH-170 y EH-171 fueron clasificadas como <u>C. neoformans</u> con base en su crecimiento a 37°C, pigmento en agar alpiste negro, positividad a la prueba de ureasa, a la no reducción de NO<sub>3</sub> (Tabla 1) y de acuerdo a su patrón de asimilación de carbohidratos (sacarosa, inositol, maltosa, dextrosa, ribosa, xilosa, manosa, manitol, fructosa y lactosa) (Tabla 2). En la tabla i se muestra que las 3

cepas aisladas no asimilaron lactosa ni nitratos y fueron ureasa positivas.

La variedad de las cepas estudiadas se determino en agar glicina-rojo de fenol (66,71), mostrando las tres cepas la variedad neoformans, de acuerdo al color rojo del medio.

Al probar la virulencia de las tres cepas en ratones correspondientes a cada una, los ratones inoculados con la cepa EH-170 capsulada murieron en una semana, y los inoculados con las otras dos cepas (EH-169 y EH-171) algunos murieron en una semana y los que continuaban vivos se sacrificaron. La necropsia correspondiente de tejido cerebral reveló la presencia del hongo capsulado en gemación, con las técnicas de hematoxilina y eosina (H&E) y tinción con tinta China. El cultivo de tejido cerebral en ADS presentó a los siete días colonias cuyas características se describieron anteriormente.

Se escogió la cepa de <u>Cryptproccus</u> neoformans EH-169 aislada de un paciente con criptococosis meningea y SIDA, por presentar una cápsula pequeña que favorece una mejor obtención del suero hiperinmune. La cepa fue conservada en ADS a 4°C.

Todas las células levaduriformes utilizadas para preparar los diferentes antigenos de inmunización, se cosecharon al final de la fase logarítmica de crecimiento, la cual se obtuvo a los 4 días de incubación como puede

observarse en la figura 4.

De los cuatro diferentes esquemas de inmunización practicados se obtuvo la mejor respuesta de anticuerpos con el esquema de Harrell gt al. (42), y con el esquema de Dolan et al. (24). La prueba de aglutinación en tubo de los sueros hiperinmunes obtenidos con estos esquemas detectó títulos de anticuerpos anti-C. neoformans hasta la dilución de 1:1024. La gamma-globulina anti-C. neoformans purificada reveló títulos de 1:1280 por la técnica de ELISA. Con el esquema de inmunización utilizando células secas con acetona se obtuvo un título de 1:32 y con el esquema de Dolan modificado (ver Materiales y Métodos) el título observado fue de 1:512.

De los dos tipos de partículas de látex utilizados para preparar los reactivos LACN y LGGN, las partículas de 0.80 pm de Bigaux presentaron una mayor estabilidad. Las partículas de látex de diámetro de 0.81 pm de fabricación nacional presentaron problemas de inestabilidad coloidal resultando en una autoaglutinación. Por lo tanto, se procedió a realizar la prueba con las partículas del laboratorio Bigaux.

Los datos de los pacientes estudiados se muestran en la tabla 3. El 64.5 porciento corresponde al sexo masculino y el 35.5 al femenino. Las edades fluctuaron entre 25-48 años. Todos los pacientes con criptococosis asi como los

testigos con otras micosis fueron diagnosticados por examen directo y cultivo. Se estudiaron 5 muestras de suero y 15 de LCR, provenientes de pacientes con criptococosis y dentro del grupo testigo se estudiaron 15 muestras de suero y 15 de LCR.

Se probó la máxima reactividad de las suspensiones de lâtex sensibilizadas por medio de dos métodos: Harrell <u>et</u> al(42) v Hudson & Hav (45). cuvas diferencias fundamentales fueron las siguientes: La preparación de los reactivos LACN y LGGN, la cantidad de partículas de látex y el lavado previo de las particulas de látex, además de utilización de albúmina sérica bovina para el bloqueo de los sítios libres (ver Materiales y Métodos). Se observo la mejor aglutinación con el suero de referencia por el método de Harrell <u>et</u> al., el cual presento aglutinación de 4+ en una dilución de 1:8 del suero positivo de referencia a una concentración de 1:100 del reactivo LACN. La misma dilución del suero (1:8) presento iqualmente 4+ cuando se utilizo el LACN a 1:400 y 1:800 (Tabla 4). Al utilizar LCR de referencia de un paciente con criptococosis se observó la misma reactividad que con el suero de referencia (Tabla 5).

Con el procedimiento de Hudson & Hay se observo una reactividad de sólo 3+ con el reactivo concentrado desde una dilución 1:2-1:32 del suero de referencia, y la reactividad fue disminuyendo con respecto a las menores concentraciones

del reactivo LACN (Tabla 6). En la tabla 7 observamos que la máxima reactividad en el LCR de referencia, se obtiene también a una dilución 1:32 con el reactivo LACN concentrado, y una aglutinación menor con la concentración 1:2 del LACN. Sin embargo, la reactividad con las siguientes concentraciones se pierde y la mayoría de las diluciones del LCR de referencia se mostraron negativas.

Ha sido ampliamente demostrado que la mayoría de las reacciones falsas positivas son debidas a la presencia del factor reumatoide en el suero (6,36,37,99). Por lo tanto todas las muestras de suero y LCR fueron valoradas para este factor según lo descrito en material y métodos. Aquellas muestras positivas fueron tratadas con DTT según lo recomendado por Gordon st al (36), para descartar las reacciones falsas positivas.

Para interpretar correctamente los resultados de la PAL, es necesario incluir los reactivos LGGN, y un testigo positivo constituido de polisacárido criptococal ajustado a una concentración de 10  $\mu$ g /ml. De esta forma se cuenta con un patrón comparativo y entonces se considera como positivas aquellas reacciones que muestren una aglutinación igual o más fuerte que el testigo positivo, y/o aquellas muestras que presenten aglutinación cuatro veces más alta con el reactivo LACN comparándola con el reactivo LACN comparándola con el reactivo LAGN (85).

La PAL y la prueba de factor reumatoide en el suero de

cinco pacientes y las muestras testigo de polisacárido fúncico, antes del tratamiento con DTT, se muestran en la El FR resulto positivo para un suero de cinco enmayados. La PAL según Harrell et al., mostró positividad en todos los sueros utilizados provenientes de pacientes con criptococosis a una concentración 1:100 del LACN y a diluciones de las muestras de suero de 1:8 a 1:32. concentración 1:400 del LACN, se observó aglutinación menos evidente que la observada a una concentración 1:100 y las diluciones de los sueros problema van desde 1:4 hasta 1:64. El mismo comportamiento observado con la concentración 1:400 del LACN lo siquió la de 1:800, a excepción de un suero (4-SHR). en el cual el reactivo LACN de concentración 1:800 no aglutino, pero si hay aglutinación inespecífica con el reactivo LGGN, tanto en 1:800 como en la concentración de Este suero resultó positivo al FR. metodología de Hudson & Hay todos los sueros probados mostraron aglutinación de 2+ con el reactivo LACN concentrado y la reactividad en las muestras de suero van desde 1:4 hasta 1:64, como se muestra en la misma tabla 8. El reactivo LGGN no mostró reactividad para ninguna muestra de suero, ni para aquella que resultó positiva al FR. Las muestras de polísacárido de C. neoformans y el filtrado de cultivo utilizados como testigos positivos, por el método de Harrell et al., dieron positividad con el reactivo LACN a

concentración de 1:100 de 4+ y de 3+ respectivamente; para las concentraciones de 1:400 y 1:800 se observó aglutinación de 2+ para el polisacárido y negativo para el filtrado de cultivo. El reactivo LGGN no presentó aglutinación inespecífica a ninguna concentración. Por el método de Hudson & Hay la reactividad que se observó fue de 2+ para ambas muestras testigo (polisacárido y filtrado de cultivo), con el reactivo LACN y negativo para el LGGN.

En la tabla 9 se muestran los resultados de la PAL y FR para las muestras de LCR de 15 pacientes con criptococosis. antes del tratamiento con DTT. Por el método de Harrell <u>et</u> al.. todas las muestras resultaron positivas con el reactivo LACN a una concentración de 1:100 y a diluciones del LCR desde 1:8 hasta 1:64. Para la concentración de 1:400 del LACN se observó una aglutinación de 3+ a diluciones de LCR que van desde 1:2 a 1:16 y con las diluciones 1:64 la aglutinación disminuye hasta 2+. Así mismo se observaron 2 casos negativos (6-SHR.7-OSO). Con la concentración de 1:800 del LACN se observa aglutinación de 2+ a 3+, a diluciones de LCR de 1:4 a 1:64 así como los mismos casos negativos (6-SHR,7-090,). En todas estas muestras el reactivo LGGN no presentó reactividad inespecífica a ninguna concentración y con minguna dilución de las muestras de LCR. Dos pacientes (10-GAJ,16-IPN) presentaron FR positivo: Siguiendo el método de Hudson & Hay se observo una

aglutinación de 3+ con el reactivo de LACN con títulos de 1:16 y 1: 64 para dos muestras (5-VRT,15-VRS) y de 2+ a diluciones del LCR que van desde 1:8 hasta 1:64. No se observaron reacciones positivas al reactivo LGBN.

Los resultados que nos muestra la tabla 10 refieren la PAL en muestras con otras micosis, como candidosis, aspergilosis, histoplasmosis y paracoccidioidomicosis. Todas las muestras tanto suero como LCR permanecen negativas a los reactivos LACN y LGGN tanto en el procedimiento de Harrell et al., como para el de Hudson & Hay.

En la tabla 11 observamos los resultados de la PAL con las muestras de pacientes con otras patologías no micóticas. Con el método de Harrell et al. aquellas muestras que resultaron negativas al FR, también lo fueron con el reactivo de LACN y LGGN en todas sus concentraciones y para todas las diluciones de las muestras probadas. Las muestras con FR positivo (21-TCE, 22-RPD, 31-CPF, 33-LDD, 34-AAD) mostraron falsos positivos con el reactivo LACN aglutinación inespecifica con el LGGN y un caso con FR negativo (36-GPD) presentó aglutinación inespecífica de 2+ a concentraciones 1:400 v 1:800 del LACN. Con procedimiento de Hudson & Hay las mismas muestras con FR positivo (21-TCE,22-RPD,31-CPF,33-LDD,34-AAD) dieron falsos positivos y aglutinación inespecífica. Sin embargo en un caso (35-HVA) con FR negativo a diferencia del método de Harrell et al., presentó una positividad de 2+ con ambos reactivos (LACN v LGGN).

Los resultados de la PAL con sueros normales se muestran en la tabla 12. Todas las muestras de suero con FR negativo presentaron la prueba negativa en todas las diluciones probadas , con ambos reactivos (LACN y LGGN) así como con ambos métodos. De las tres muestras (39-PML,43-JLM,44-FRD) positivas al FR sólo dos de ellas (39-PML,44-FRO), presentaron aglutinación inespecífica en ambos métodos ensayados, uno (43-JLM) permaneció negativo a la prueba independientemente de los reactivos y métodos utilizados. La muestra 39-PML presentó positividad únicamente con el reactivo LACN del método de Hudson & Hav. Por último la muestra 44-FRO presentò positividad tanto con el reactivo LACN como LGGN en ambos métodos ensavados.

El resultado de las muestras de suero y LCR que dieron positivas para el FR, fueron tratadas con DTT para eliminar las falsas positivas y se muestran en las tablas 13 y 14 respectivamente. La interferencia dada por el factor reumatoide se eliminó completamente y sólo permanecieron procedentes pacientes positivas aouellas de criptococosis confirmada por cultivo (7-080,10-8AJ), al utilizar ambos métodos. El reactivo LACN mostró la mayor aulutinación con la concentración de 1:100. El reactivo LOBN no mostró aglutinación inespecífica.

El estudio de la virulencia y patogenicidad de <u>C. neoformans</u> ha sido investigado ampliamente por Kwon-Chung <u>et al.</u> (60,61), utilizando métodos genéticos bien definidos. Identificaron tres factores de virulencia para este hongo: su crecimiento a 37°C, su cápsula de mucopolisacárido y una fenol oxidasa activa que sintetiza melanina a partir de los precursores apropiados.

Aparte de los métodos convencionales de identificación de <u>C. neoformans</u> como presencia de cápsula, virulencia en el ratón y pruebas bioquímicas, se utilizó el medio de Staib conteniendo semillas de <u>Guizotia abvesinica</u>, que contiene compuestos fenólicos, como el ácido cafeinico, para poner en evidencia la fenol oxidasa del hongo. El resultado mostró que las cepas utilizadas fueron capaces de transformarse de colonias cremosas a café oscuro, indicando indirectamente la presencia de la fenol oxidasa en las cepas estudiadas. En este hongo se demostró la asociación de este producto con la virulencia del mismo, a partir de un modelo murino experimental realizado con mutantes deficientes en melanina y la cepa silvestre de <u>Cryptococcus neoformans</u> (31,47,60-84,85,88).

Se utilizó la cepa EH-169 con poca cápsula para el esquema de inmunización debido a que diversos trabajos (446,57,58,68),indican títulos bajos de anticuerpos en conejos con las cepas capsuladas. Esto se debe entre otros factores a que la cápsula de <u>Cryptococcus</u>, compuesta de dos fracciones polisacaridicas: manosa, xilosa y acido glucurónico (GXM), y galactosa, xilosa y manosa (GalXM) es un fuerte inhibidor de la fagocitosis(57,59,60,65,76,79), paso crucial para llevar a cabo la presentación de un antigeno. La cepa EH-170 que presentó una cápsula grande se utilizó para producir el antigeno polisacaridico soluble que fue utilizado como testigo positivo de referencia (35,40).

El antigeno se obtuvo al final de la fase logaritmica de crecimiento, ya que estudios con otros hongos patógenos como Sporothrix achenckii y Aspergillus fumigatus mostraron que la mayor reactividad inmunogénica y reproducibilidad del antigeno se obtenían en esta fase (2,82).

Durante la preparación de los reactivos para el desarrollo de la prueba de aglutiración en látex, se presentaron varios problemas. Uno de ellos fue la obtención del suero hiperinmune debido a que en su mayoría la composición quimica de la cápsula de este hongo está formada por polisacáridos por tanto resulta un pobre inmunógeno (3,42,46,57,59,65). Se ensayaron cuatro esquemas de inmunización, de los cuales los de Harrell et al. (42), y Dolan et al. (24), dieron los mejores resultados , siendo la diferencia entre los dos procedimientos la muerte del hongo,

uno con timerosal y el otro por calor respectivamente. Se siguió la recomendación de Dolan (24) de inmunizaciones múltiples intravenosas para la óptima obtención de títulos de anticuerpo.

Por otro lado la estabilidad de las partículas de látex de 0.81 am del laboratorio nacional se perdía poco después de preparar el reactivo LACN y LGGN, resultando en una autoaglutinación. Estas particulas de látex no presentaban un tamaño homogéneo. El lograr la estabilidad de las partículas de látex con albúmina sérica bovina, antes v después de su sensibilización, fue definitivo porque así se aseguró que los resultados fueran representativos. lograr la estabilidad de las partículas se tomaron en cuenta sus caracteres fisicoquímicos como el de ser una suspensión de partículas hidrofóbicas cargadas superficie. En presencia de pequeñas cantidades de proteína estabilidad y aqlutinan, sin embargo suspenderlas en una mayor cantidad de proteina la recuperan (6.24,81).

Es un hecho ampliamente estudiado que la presencia del factor reumatoide en fluidos corporales produce un resultado falso positivo en la PAL (6,10,30,36,39,43,99). La explicación de este fenómeno es que la macroglobulina presente en suero de pacientes con artritis reumatoide corresponde a una IoM, la cual reacciona con determinantes

antigénicos específicos de la cadena gamma de globulinas IgG. Se ha demostrado la habilidad de la IgM para aglutinar partículas de latex que han sido sensibilizadas con anticuerpos IgG, y en esta prueba mas del 90% de la gamma globulina anti-criptococal usada para sensibilizar partículas de latex consiste de IgG (6,36).

Además del factor reumatoide también se han aceptado factores que puedan interferir en la reacción tales como cruce antigénico con Trichosporum beigelii (70,83) y otras sustancias cuya naturaleza se desconoce (6,24). sobre estos factores de interferencia en la (30,36,39,41,43) reportaron que compuestos sulfihidrilo como mercaptoetanol, ditiotreitol (DTT). asi como tratamiento con EDTA (36,39,70) remueven estos factores sin afectar la cantidad presente de antigeno criptococal. Posiblemente el tratamiento con DTT rompe enlaces disulfuro, eliminando los factores responsables de las reacciones falsas positivas. Además del tratamiento con DTT, diversos autores (36,24,51,99) sugieren el proce- dimiento del calentamiento de las muestras de suero y LCR a 56°C durante 30 min antes de realizar la PAL, para eliminar las reacciones inespecificas. Se desconoce la naturaleza de estos factores lábiles al calor.

Uno de los factores de virulencia de <u>C. neoformans</u>, la cápsula, lo protege de la defensa del hospedero produciendo hombre y los animales. Esto se debe probablemente a la composición quimica de la cápsula, ya que este microorganismo libera gran cantidad de polisacárido criptococal hacía los fluidos corporales evitando con ello se generen anticuerpos en su contra (58,72,76,77,78,88). En consecuencia, en esta micosis los procedimientos serológicos de diagnóstico estan enfocados a la detección del antígeno circulante en fluidos corporales, como la aglutinación de partículas de látex, prueba desarrollada en el presente estudio.

Entre diversos trabajos realizados con la PAL, Mackenzie (68) reportó en un estudio realizado con el filtrado de cultivo de 104 levaduras diferentes a <u>C.neoformans</u>, que esta prueba sólo aglutina con el filtrado de cultivo de este hongo. Además la encontró positiva para muestras de pacientes con infección criptococal. Bennett y Bailey (6) encontraron que después de analizar 252 muestras de LCR y suero, el 9.5% presentaba reacciones falsas positivas y que estas se debían en gran parte al factor reumatoide (FR). Por su parte Kauffman <u>et al</u>. (51), encontraron en la PAL una especificidad del 90% tanto en suero como en el LCR después de analizar un total de 335 muestras. Asznowicz <u>et al</u>. (4) en un estudio retrospectivo donde además de valorar la PAL, la compararon con las pruebas de diagnóstico de tinta China

y cultivo, encontraron que de 59 muestras, solo el 2% fue positivo para la tinta China y el 22% para cultivo, sin embargo el 71% de ellas presentaron la PAL positiva, concluyendo asi la ventaja de esta última con respecto a los métodos de tinta China y cultivo. Sekhon et al. (90), realizaron una valoración de la PAL en Canada, mientras tanto Scholer HJ (92) en un estudio en muestras procedentes de diferentes partes del mundo (Europa, Asia, Africa) asi como Desmet et al. (22) realizaron un trabajo similar en un área de Africa. En todos estos trabajos se llega a la conclusion de que la PAL es una de las pruebas de mayor utilidad para el diagnóstico de la criptococosis, y en caso de presentar fenómenos de reacciones inespecíficas dadas por factores interferentes entre ellos el FR, éstas ocurren en un 5-10%.

En el presente estudio de muestras (SUERO,LCR) de pacientes con criptococosis provenientes de hospitales mexicanos, se encontró que el 100% de éstas dieron un resultado positivo a la PAL, lo que mostró una alta sensibilidad de la prueba, por otro lado la misma prueba resultó negativa en muestras de pacientes con otras micosis y otras patologías mostrando así mismo gran especificidad con este reactivo para la detección de antigeno circulante de C. neoformans.

Los estudios de mayor relevancia con respecto a reacciones falsas positivas encontradas en la PAL están

realizados principalmente por Bennett et al. (6), Dolan et al. (24). Bennett et al. (6) recomendo el uso de controles tales como un reactivo de partículas de látex sensibilizadas con gamma globulina normal de conejo y un reactivo que consistió de polisacárido criptococal de 10 µg de polisacárido/ml. Con el uso de estos controles la PAL comparada con otros procedimientos resulta mucho mas sensible y específica.

Por su parte Dolan et al. (24), en un estudio realizado con muestras de suero y LCR de pacientes con criptococosis. de otras infecciones micóticas, y otras con FR positivo así como un grupo de sueros de individuos sanos, encontró interferencias en muestras de pacientes con aspergilosis broncopulmonar y blastomicosis. En sueros con FR, el 87% de ellas aglutinaban con el reactivo de látex gamma globulina anti-criptococal(LACN) y el 38% aglutinaba con el reactivo latex gammma globulina normal de conejo (LGGN). Ninguna de las muestras de individuos sanos aglutino los reactivos antes mencionados. Concluyó que una reacción positiva con el reactivo de látex gamma globulina anti-criotococal. combinada con un FR negativo y la no aglutinación reactivo látex gamma globulina normal de conejo, altamente significativa de una infección criptococal. En el presente estudio con el fin de eliminar las reacciones inespecificas, se calento el suero como lo recomendo Dolan, eliminando con ello los resultados falsos positivos encontrados en un porcentaje del 27.2 del cual el 10% aglutino el reactivo LACN y el 17.2 % aglutino el LGGN. Se incluyo además un testigo positivo de polisacárido criptococal, reactivo de látex gamma globulina normal, y el tratamiento con DTT de las muestras analizadas, para obtener una especificidad y sensibilidad de un 100% en la PAL.

La prueba de aglutinación en látex desarrollada para la detección del antigeno criptococal demostró ser en las muestras de pacientes de hospitales mexicanos un procedimiento serológico de gran ayuda para el diagnóstico de la criptococosis por la sensibilidad y especificidad, con la inclusión de controles apropiados para detectar las reacciones inespecíficas.

#### CONCLUSIONES

- La obtención de un suero hiperinmune con altos títulos de anticuerpos es fundamental para la sensibilización de las partículas de látex y la realización de la prueba de aglutinación.
- Para la realización óptima de la prueba, las particulas de látex deben ser estrictamente de un tamaño homogéneo.
- 3) El tratamiento con DTT y calor es determinante para eliminar los factores interferentes en la prueba de aglutinación en látex para el antigeno criptococal y por lo tanto las reacciones falsas positivas.
- 4) La inclusión del reactivo de partículas de látex sensibilizado con inmunoglobulina de suero de conejo normal (LGGN) facilita la interpretación de reacciones falsas positivas durante la prueba de aglutinación en muestras de suero y LCR.
- 5) La PAL con los reactivos preparados en el presente estudio confirmó el diagnóstico clinico de criptococosis en muestras de sueros y LCR de los pacientes estudiados.

#### ANEXO I

# 1. MEDIOS DE CULTIVO Y REACTIVOS.

## a) Agar Dextrosa Peptona Sabouraud.

peptona 10.0 g
dextrosa 40.0 g
agar 15.0g
agua destilada 1000 ml

Se utilizó para el mantenimiento de cepas, y para pruebas de esterilidad.

# b) Caldo Dextroma Babouraud.

peptona 10.0 g. (Difco).

dextrosa 20.0 g. (Merck).

agua destilada 1000 ml.

Se utilizo para la obtención del antigeno levaduriforme, así como para la curva de crecimiento.

#### c) Agar Alpiste Negro. (Según Staib)

alpiste negro o niger.	50.0.g
cloramfenicol.	50.0mg
agar bacteriológico.	15.0
glucosa	1.0
creatinina	1.0 g
KH2P04	1.0 g
agua dest.	1000 ml

Se utilizó como medio diferencial. La producción de un pigmento castaño rojizo marrón es característico de C. neoformans.

## d) Agar Nitritos.

agar	20.0 g
KN03	1.0 g
peptona de carne	2.0 g
agua dest.	1000 ml

Se utilizó como medio diferencial. C. neoformans no escapaz de utilizar como fuente de nitrógeno al  ${\rm KNO}_3$ .

# e) Agar Biggy-Nickerson.

citrato de bismuto amonico	5.0 g
sulfito de sodio	3.0 g
dextrosa	10.0 g
extracto de levadura	1.0 g
glicina	1.0 g
cloramfenicol	0.5 g
agar	20.0 g
agua dest.	1000 ml.

Se utilizó como un medio de referencia para otras especies. El desarrollo de pigmento marron es característico de <u>C. albicane</u>.

## f) Agar Glicina Rojo de Fenol-

Salkin y Hard los describen como medio diferencial de variedades. Con la var. <u>gattii</u> el medio produce un cambio de color del rojo al amarillo.

glicina	1.0 %
ciclohexamida	1.6 ml
rojo de fenol	0.0018 g
agar	15.0 g

Las placas son inoculadas abundantemente con el microorganismo y se incuban a 37°C, por lo menos una semana.

### g) Dializado de Neopeptona y Levadura.

neopeptona 1.0 % (Difco)
extracto de levadura 1.0 % (Difco)
dextrosa 1.0 % " (Merck)

Utililizado para la preparación de antigeno criptococal.

# h) Amortiguador de Fosfatos.

NaC1 8.0 g
KH2PD4 0.2 g
Na2HPD4 12H2D 2.9 g
KC1 0.2 g
agua dest. 1000 ml

pH= 7.2

#### i) Amortiquiador de solución Glicina-Salina.

Nac1 9.0 g
CaC12 1.0 g
glicina 7.5 g
agua dest. 1000 ml

pH=9.0

Añadir 1 g de albúmina sérica bovina.

# j) Amortiguador de Glicina-Salina 0.57 M pH 8.6.

Glicina 14.0

NaOH 0.7

NaC1 17.0

Azida de sodio (conservador) 1.0

Disolver en 500 ml de agua destilada y ajustar a pH 8.6. Aforar a 1000 ml.

# k) Amortiguador Tris HC1 0.2 M

Tris-HCl 31.2 g

agua destilada 1000 ml

Se ajustar el pH de 8.6.

#### 2) PRUEBAS BIOQUIMICAS

#### a) Asimilación de carbohidratos.

Se utilizo el caldo base para asimilación de carbohidratos.

tripteina BBL 10.0 q

NaC1 5.0 g

rojo de fenol 0.018g

aqua dest. 1000 ml

El carbohidrato en estudio se añade al caldo ya

esterilizado, a una concentración de 0.5 -1 % esterilizado por fitración.

Se inocula el caldo con una asada del microorganismo previamente aislado en cultivo puro. Incubar a 37°C de 6-10 dias. El desarrollo de un color amarillo estable, indica que la producción de àcido es suficiente como para bajar el pH a 4.4 y es una prueba positiva.

#### b) Prueba de ureasa.

El caldo Urea de Christensen es uno de los medios más utilizados, para la detección de actividad de ureasa.

peptona	1.0 g
glucosa	1.0 g
NaC1	5.0 g
Fosfato monopotasico	2.0 g
urea	20.0 g
rojo de fenol	0.012g
pH= 6.8	

La misma que al inocular los carbohidratos.

El desarrollo de un color bugambilia, indica prueba positiva.

# c) Prueba de Patogenicidad en el ratón.

Se hace una suspensión salina de células obtenidas de 4-5 dias de crecimiento. Se recomienda una dilución 1:100.

Se inoculan 2-4 ratones via intracerebral con 0.02-0.03 ml de la suspensión de levaduras. Los ratones mueren entre 2-7 días. Se realiza una necropsia de los ratones que mueren o se sacrifican al cabo de 2 semanas. Se examina el material gelatinoso del cerebro en i gota de tinta china negra para observar la presencia de células levaduriformes.

# d) Método de la o-toluidina.

Utilizado para la determinación de glucosa en el medio de cultivo para la curva de crecimiento.

c-toluidina

6.0 ml (Merck)

tipurea

0.15 g (Merck)

ac. acético glacial

100 ml.

Se agregan 3 ml de éste reactivo por cada ml de sobrenadante centrifugado del medio de cultivo. La coloración resultante se leyó a 430 -635 nm. en el espectofotómetro.

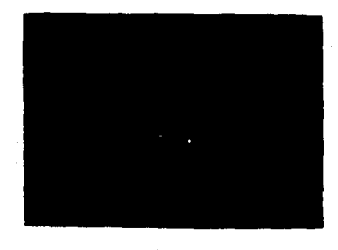


FIGURA 1. Cultivo de <u>C. neoformans</u> en Medio de agar Sabouraud donde presenta colonias blancas cremosas y mucoides.



FIGURA 2. Cultivo de <u>C. neoformans</u> en Medio de agar alpiste negro donde presenta colonias oscuras café-marrón.

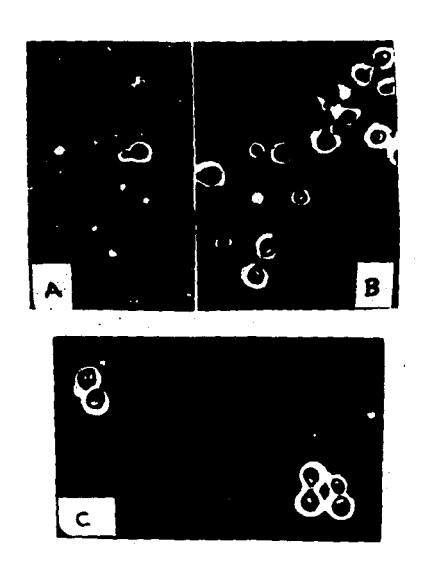


FIGURA 3. <u>Cryptococcus neoformans</u>. A) Cepa EH-169
B) Cepa EH-170 y C) Cepa EH-171. Tin - .
ción con Tinta China. (1000X)

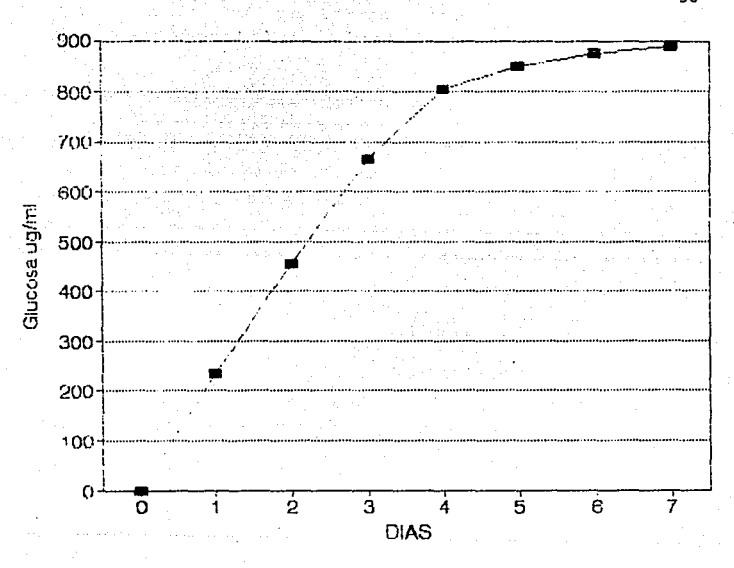


FIGURA 4. Curva de crecimiento de <u>Cryptococcus neoformans</u>
EH-169 por medio de la determinacion del consumo
de glucosa. Cada punto es el promedio de tres experimentos distintos.

TABLA 1. Características de Cryptococcus neoformans.

CEPA	VIRULENCIA EN RATON	CRECIMIENTO A 37°C	PIGMENTO EN AGAR ALPISTE NEGRO	UREASA	KNO3	
EH-169	+	+	•	.•		
EH-170	•	•	•	٠	-	
EH-171		+	•		-	

TABLA 2. Asimilación de carbohidratos por Cryptococcus neoformans

CEPA	SAC	LAC	MAL	HAN	DEX	<b>R1B</b>	IIL	INO	FRU	HANI
EH-169	•	-	+	•	•	٠	+/-	•	+	+/-
EH-170	•	-	+	+	٠	-	-	٠	+	•
EK-171	•	-	٠	+	+	-	-	+	٠	+/-

SAC=sacarosa, LAC=lactosa, MAL=aaltosa, MAM=sanosa, DEI=dextrosa, RIB=ribosa, Ill=rilosa, IMD=inositoi, FRI=ructosa, MAM|=aasito| (4)= Maisilatón. (-)= Mo asisilatón. (4)-1= Variable.

TABLA 3. Datos generales de la población de individuos de los cuales se obtuvieron muestras biológicas para la prueba de aglutinación en látex

Paciente	Saxo	Edad (alos)	Diagnostico Clinico(*)	Enfermedad asociada(*)	Musstra estudiada
			orthico.		Astronana
i-ile	H	35	SIDA	Cristococosis	Suero
2-864	F	20	BLDA	Cristococosis	LCR
3-RMS	В	32	SIDA	Cristococosis	LCR
4-JAR	Ħ	27	SIDA	Criptococosis	LCR
5-VRT	F	36	SIDA	Criptococosis	LCR
AHP-4	Ħ	28	510A	Cristococosis	- Suero y LCi
7-050	Ħ	27	SIDA	Criptococosis	Suero y LCI
8-FVS	Ħ	32	SIDA	Cristococosis	Suaro y LCI
9-MLE	H	48	Criptococoma cerebral	Hinguna	Suaro y LC
10-6M	H.	27	Criptococosis	MC	LCR
1-COAL	F	29	Criptococosis	MC	LCR
12-VBA	Ħ	25	Cristococosis	MC	LCR
13-RVT	F	26	Criptococosis	NC .	LCR ·
IA-RJA	91	35	Criptococosis	NC	LCR
5-VRS	Ħ	31	Criptococosis	MC	LCR
16-1PM	Ë	29	Cristococosis	NC	LCR

<sup>4</sup> El diagnostico de la Criptococosis se confirmó por examen directo y cultivo. F= femenino Mesasculino MC= no conocido

Grupos Testigo										
Paciente	Sexo	Edad (alos)	Diagnóstico Clinico(+)	Enfermedad asociada(e)	Muestra estudiad					
17-DBR	F	NC NC	Candidosis	NC NC	Suero					
18-581	Ř	NC	Histoplasoosis	NC	Suero					
19-DRA	×	MC	Paracoccidio-	NC SH	Suero					
• • • • • • • • • • • • • • • • • • • •	"		dioniconis							
20-HT1	H	ME	Aspergilosis	NG	LCR					
21-TCE	H	29	BIDA	Mauroinfacción	LCR					
22-RPD	Ħ	35	Neuroinfection	NC	LCR					
23-LVA	Ħ	32	SIDA	NC	LCR					
24-ARN	F	35	Heurainfección	NC	LCR					
25-MPP	M	29	Meuroinfacción	NC	ŁCR					
26-FRMD	F	32	Houroinfección	NE	LER					
27-9LNC	F	28	ADCOSO	NC	LCR					
28-ML	н	42	intracrameal Infarto c <b>ere</b> bral	NC	LCR					
29-HAB	Ä	34	Neurocisticer-	NC.	LCR					
ZT-IWD		• • • • • • • • • • • • • • • • • • • •	cosis	NO.	Lun					
30-BRE	Ħ	45	Crisis convul-	NC	LCR					
			BIVAR							
31-CPF	H	36	Mauroinfectión	NC	LCR					
32-MC0	H	27	SIDA	Toxoplasmosis	LCR					
33-LDD	F	MC	Tétanos	NC	Suero					
34-MAD	F	29	SIDA	Toxoplaseosis	LCR					
35-HVA	F	37	Lupus	,						
			Eritematoso	KC	Supro					
			Sistemico							
36-8PD	F	44	Nouroinfection	NC	LCR					
37-RJY	м	25	Sano		Suero					
3B-JLV	Ħ	24	Sano		Suero					
39-PHL	Й	26	Sano		Suero					
40-D9H	Ħ	28	Sano		Suero					
41-IMN	F	25	Sano		Suero					
42-0PS	F	25	Sano		Suero					
43-JLH	F	26	Sano		Suero					
	-	24	Sano		SUPPO					
44-FRO	Ħ									

de LACN por el método de Harrell <u>et al</u> (42) con el suero de referencia de un paciente con criptococosis

Diluciones del LACN	Diluciones del suero de referencia									
	1:2	114	LiB	1116	1132	3164	11128	11254	1:512	1:102
1:100	4+	4+	4+	3+	3+	3+	Heq	Neg	Keg	Hag
1:200	2+	2+	3+	3+	3+	Heg	Neg	Mag	Neg	Keg
1:400	3+	3+	4+	3+	Heg	Pek	Meg	Mag	Keg	Key
1:800	3+	3+	4+	3+	3+	2+	Heg	Keg	Neg	Heg
1:1600	2+	2+	3+	2+	2+	2+	Heg	Neg	Keg	Heg

LACN = Látez gamma-globulina anti <u>C. neoformans</u>. O a l+= Negativo

<sup>2+</sup> a 4++ Positivo

TABLA 5 Determinación de la máxima dilución reactiva de LACN por el método de Harrell <u>et al</u> (42) con el LCR de referencia proveniente de un paciente con criptococosis

Diluciones del LACM

Diluciones del LCR de referencia

	112	114	1:8	1:16	1:32	1:64	11128	1:256	1:512	1:102
1:100	4+	4+	4+	3+	3+	3+	Neg	neg	Neg	Neg
1:200	4+	3+	3+	3+	3+	Neg	Heg	Iteg	Heg	Neg
1:400	3+	3+	4+	3+	Neg	Xeg	Heg	Neg	Neg	Neg
L1800	3+	3+	4+	3+	3+	2+	Neg	Meg	Keg	Neg
1:1600	2+	2+	3+	3+	2+	2+	Neg	Marg	Heg	Neg

LACH = Latex gamma-globulina anti C. neoformans.

O a 1+0 Megativo

2+ a 4+= Positivo

LCR - Liquido cefalorraquideo.

TABLA 6. Determinación de la máxima dilución reactiva de LACN por el método de Hudson & Hay (45) con el suero de referencia de un paciente con criptococosis

Diluciones del LACN	Concentración del suero de referencia						
	1:2	114	118	1116	1:32	1164	11120
Concentrado	3+	3+	3+	2+	2+	2+	2+
112	3+	2+	3+	2+	2+	2+	Keg
113	2+	2+	2+	2+	2+	Neg	Heg
1:4	2+	2+	Neg	Neg	Neg	Neg	Nag
1:5	Heg	Keg	Neg	Neg	Neg	Neg	Heç

LACM = Latex gamma-globulina anti-C. neoformans

<sup>0</sup> a i+= Negativo

<sup>2+</sup> a 4+= Positivo

TABLA 7. Determinación de la máxima dilución reactiva de LACN por el método de Hudson & Hay (45) con el LCR de referencia de un paciente con criptococosis

Diluciones del LACN	Concentración del LCR de referencia									
	1;2	114	1:8	1116	1132	1164	11128			
Concentrado	2+	3+	3+	3+	3+	2+	Neg			
1:2	2+	3+	3+	3 +	2+	2+	2+			
113	Neg	2+	Neg	2+	Heg	Neg	Heg			
1:4	Keg	2+	2+	2+	Keg	Keg	Heg			
115	Neg	Neg	Neg	Neg	Neg	Neg	Neg			

LACM = Latex gamma-globulina anti-C. neoformans

O a 1+m Hegativo

<sup>2+</sup> a 4+\* Positivo

LCR = Liquido cefaloraquideo.

TABLA 8. Prueba de aglutinación en látex y factor reumatoide (FR) utilizando sueros positivos con criptococosis(\*) y muestras testigo de polisacárido fúngico

Càdigo	Diagnóstico	FR			todo rrell <u>et</u>	ai.			Métada Hudson		
					ensibili: luciones				Latex sensibilizad concentrado		
			LACH	LGEN	11: LACN	100 L66N	LACH	BOO LBGN	LACN	LGGM	
1-ILE	criptococosis y SIDA	neg	1116 2+	neg	110 2+	neg	1:4 2+	neg	1:32 2+	neg	
6-SHR	criptococosis y SIOA	pos	118 4+	1:8 2+	L14 24	neg	neg	1132 2+	114 2+	neg	
7-050	criptococosis y SIDA	neg	2+ 118	neg	118 2+	neg	118 2+	neg	1:32 2+	neg	
8- FV8	criptococosis y SIBA	neg	1132 3+	neg	1164 2+	usò	1164 2+	neg	1:64 2+	ueđ	
9-MLE	criptococosa cerebral	neg	118 4+	neg	118 2+	und	118 2+	neg	1116 2+	neg	
	acarido de oforama(**)	næg	1:16	neg	1: B 2+	neg	118	neg	1:8 2+	neg	
	ado de cultivo neoformans(**)	umā	1132 3+	neg	neg	neg	neg	neg	1:4 3+	neg	

<sup>\*</sup> La criptococosis fué confirmada por esamen directo y cultivo.

es Estos antigenos constituyeron el testigo positivo que se ajusto a 10,00 CHO/al

LACN = Lâtex gamma-globulina anti C. neoformans. LOGN = Lâtex gamma-globulina normal de conejo.

Prueba de aglutinación en latex y factor reumatoide (FR) utilizando LCR positivos a criptococosis.

Codigo	Diagnóstico	FR		Mét de Har	Método de Hudson & Hay						
			Látex sensibilizado (Dijuciones)						Latex sensibilizado concentrado		
			LACN		114 LACH			LGGN	LACH	LEGN	
2-66M	criptococosis y SIDA	neg	1132 3+	neg	114 3+	neg	1:4 3+	neg	l: 32 2+	neg	
3-RMS	criptococosis y SIDA	neg	1164 3+	neg	1164 2+	neg	aeg	neg	112 2+	neg	
4-JAR	criptococosis y SIDA	neg	1:16 3+	neg	1:16 2+	neg	1:8 3•	neg	1132 2+	neg	
S-VRT	criptococosis y BIDA	veð	118 4+	neg	1:8 3+	neg	118 2+	neg	1:16 2+	neg	
6-SHR	criptococosis y SIDA	neg	1:32 2+	neg	neg	neg	reg	neg	1:32 2+	næg	
7-050	criptococosis y SIDA	neg	1116 2+	Neg	neg	uad	neg	neg	11B 2+	neg	
8-FY6	criptococosis	nag	1164 3+	neg	1116 3+	neg	i:10 3+	neq	1:64 2+	neg	
9-MLE	criptococoma cerebral	neg	l:32 3+	neg	114 3+	neg	1:4 3•	neg	1:B 2+	neg	

LACM = Latex gamma-globulina anti- C. ngoformans. LASM = Latex gamma-globulina normal de comejo.

TABLA 9. (cont)

Cádigo	Diagnóstico	FR		Méto de Haro	Método de Hudson & Hay					
		•		itex sec (Dilucio	nsibiliza ones)	do			tätex sensibil concentrado	
		•	LACH	LOGN	1140 LACN	O LGGM	1:8	DO Legn	LACH	LOGN
10-8A)	criptococogis	pos	l116	neş	1116 3+	neg	11 <b>0</b> 3+	ang	1:32 2+	neg
11-00AL	criptococosis	neg	1:32 2+	neg	neg	neg	neg	neg	1:32 2+	næg
12-VBA	criptococosis	neg	1:32 3+	neg	1:64	neg	116 <b>4</b> 2+	næg	1:32 2+	neg
13-RVT	criptococosis	neg	118 3+	neg	1:16 2*	neg	11 16 2+	neg	1116 2+	neg
14-RJA	criptococosis	næg	1:B	neg	112 3+	neg	1:16 2+	neg	1:32 2+	neg
15-VRS	criptococosis	neg	1164 3+	neg	1164 2+	nag	1:64 3+	neg	1164 3+	neç
16-IPW	criptococosis	pos	1116 3+	pen	1116 3+	neg	1:16 3+	neg	1:32 2+	neg

LACK= Lâtex gasea-globulina anti-<u>C. neoforeans</u>. L<del>OCK=</del> Lâtex gasea-globulina normal de conejo.

TABLA 10. Prueba de aglutinación en latex y factor reumatoide (FR) en muestras de LCR y suero de pacientes con otras micosis

Código	Diagnóstico	FR	de	Harrel	et al.				Hudson	
			ī	ātex se (Diluci	nsibiliz ones)	ado			concer	ensibilizado etrado
			111	00	114	00	l s E	100		
			LACH	FEEN	LACH	FREN	LACM	LOGN	LACK	LBSN
L7-DBR	candidosis (suero)	neg	neg	neg	neg	neg	. n <b>e</b> ĝ	neg	neg	neg
18-SMJ	histoplasmosis (suero)	neg	neg	neg	neg	neg	neg	neg	n <b>e</b> g	neg
19-ORA	paracoccidio diomicosis (suero)	neg	ueā	neg	n# g	neg	neg	neg	neg	neg
20-MTI	aspergilosis (LCR)	neg	neg	neg	neg	ueđ	neg	uađ	gen	neg

LACH= Later gamma-globulina anti-C, neoformans.

LGGN= Later gamea-globulina normal de conejo.

Prueba de aglutinación en látex y factor reumatoide (FR) en muestras de pacientes con patologías no micóticas

Codigo	Diagnostico	FR		ffét: de Ha	Método de Hudson	t Hay				
				Låter se (Diluci		zado		Later sensibilizado concentrado		
				100		100		B00		
			LACH	LEEN	LACH	LEEN	LACH	LEBN	LACH .	L66N
21-1CE	SIDA	pos	1164 2+	1:16	112 4+	neg	veð	1164 3+	1:16	1164 2+
22-RPD	neuroinfección	pos	1:4 2+	neg	neg	neg	neg	neg	1:4 3+	1:4 3+
23-LVA	SIDA	nėg	neg	neg	neg	neş	neg	næg	neg	neg
24-ARM	neuroinfección	neg	neg	neg	ueđ	neg	neg	neg	neg	neg
25-MPP	neuroinfección	neg	neg	neg	neg	neg	neg	neg	neg	neg
26-FRMD	neuroinfección	neg	neg	neg	neg	neg	neg	neg	neg	neg
27-6LMC	abceso intracraneal	neg	neg	neg	neg	neg	neg	neg	neg	neg
28-AHL	infarto cerebral	neg	neg	h <b>è</b> g	ред	neg	neg	neg	neg	neg
29-HAG	neurocisti- cercosis	neg	usā	neg	neg	neg	neg	neg	neg	neg
30-6RE	crisis convulsivas	neg	neg	neg	neg	лед	neg	neg	næg	neg

LACH= Latex gamma-globulina anti-C. neoformans. LGGN= Latex gamma-globulina normal de conejo.

TABLA 11. (cont)

od i ga		FR		<b>Hét</b> de Harr	eli et a	_			Método de Hudso	n & Hay
				átex se (Diluci	Látex sensibilizad concentrado					
			LACH	LEGH	L14	OO LEEN	1: LACN	BOO LEGN	LACH	LSGN
31-CPF	neurainfección	pas	1164 3+	1:32 3+	1164 24	1164 2+	neg	neg	1:64 3+	1:64 3+
32-HC0	toxoplasmomis y SIDA	neg	neg	neg	neg	neg	neg	neg	neg	neg
33-LDD	tétanos	pas	114 2+	neg	neg	neg	neg	1:8 2•	1:8 2+	114 2+
34-AAD	toxoplasmosis y SIDA	pos	neg	neg	neg	neg	neg	ued	1:8	neg .
35-HVA	lupus eritomatoso sistémico	neg	neg	neg	neg	neg	neg	neg	112 2+	112 2+
36-6PD	neuroinfección	пед	neg	neg	1:4 2+	neg	1:8 2+	neg	neg	neg

LACN= Latex gamma-globulina anti-C. ngoformans. LGGN= Latex gamma-globulina normal de conejo.

TABLA 12. Prueba de aglutinación en látex y factor reumatoide (FR) utilizando sueros de individuos sanos

Cádiga	Diagnostico	FR	Método de Harrell <u>et al</u> .						Método de Hudson & Hay		
		Lâtex sensibilizado (Diluciones)							Látex sensibilizado concentrado		
		•	LACN	100 LGGN	J: LACN	400 LGBN	LACH	Feek 800	LACK	LSGN	
37-RJV	sano	ueđ	neg	neg	neg	neg	neg	neg	neg	ved	
28-1FA	sano	neg	neg	neg	neg	neg	neg	neg	neg	neg ,	
39-PML	sano	pos	neg	neg	neg	neg	neg	neg	1:4 3+	neg	
40-DBH	sano	neg	neg	neg	neg	neg	neg	neg	neg	neg	
41-IMN	sano	neg	neg	neg	neg	neg	neg	neg	næg	лед	
42-0PS	sano	neg	neg	neg	neg	neg	neg	neg	neg	ved	
43-JLM	SEND	pos	neg	neg	neg	neg	neg	nag	neg	neg	
44-FRO	Sano	pos	1:32 2+	1:16 2+	1:64 2+	118 2+	neg	neg	1:32 2+	1132 2+	
45-PAB	sano	neg	neg	neg	neg	neg	neg	neg	neg	neg	

LACN= Late: gamma-globulina anti <u>C. neoformans.</u> LGGN= Late: gamma-globulina normal de conejo.

TABLA 13. Prueba de aglutinación en latex de las muestras de suero y factor reumatoide (FR) después del tratamiento con DTT

Còdigo	Diagnostico	FR	Hétodo de Harrell et al.  Later sensibilizado (Diluciones)						Método de Hudson & Hax	
									Latex sensibilizado concentrado	
			1:100		1:400		1:800			
			LACH	FREM	LACN	LGGK	LACH	LESM	LACH LEE	LEGN
6-SHR	criptococosis y SIDA	neg	11B	neg	1:32	neg	114 3+	neg	1:64	neg
10-6AJ	criptococosis	neg	neg	neg	neg	ued	neg	neg	neg	heg
33-LDD	tétanos	neg	neg	neg	neg	neg	neg	пед	neg	neg
39-PML	sano	neg	neg	neg	neg	und	neg	neg	neg	neg
43-JLH	Sano	neg	neg	ueg	neg	neg	neg	usd	neg	neg
44-FRO	SARO	neg	usd	пед	neg	neg	neq	neg	neo	neg

LACN¤ Latex gamma-globulina anti <u>C. neoformans</u> LGGN¤ Latex gamma-globulina normal de conejo DTT = Ditiotreitol

TABLA 14. Prueba de aglutinación en látex en las muestras de LCR y factor reumatoide (FR) después del tratamiento con DTT

Código	Diagnóstico	FR	Matodo de Harrell <u>et al</u> . Látez sensibilizado (Diuciones)						Método de Hudson & Hay Lâtex sensibilizado concentrado	
		•	1:10 LACH	LB6N	1146 LACK	LGBN	LACH	LGGN	LACM	LGGM
LO-BAJ	criptococosis	neg	1164 4+	neg	1:64 2+	neg	1:16	neg	1:64 2+	neg
L6-1PM	criptococasis	neg	1:32 3+	neg	1:16 2+	neg	1:16 2+	neg	1:32 2+	neg
21-TCE	SIDA	neg	neg	neg	neg	neg	neg	neg	neg	пед
22-RPD	neuroinfección	neg	neg	neg	neg	neg	neg	neg	neg .	neg
31-CPF	neuroinfección	usā	neg	neg	neg	neg	neg	neg	neg '	пед
34-AAD	toxoplasmosis y SIDA	neg	neg	neg	neg	neg	neg	neg	neg	neg
36-BPD	neuroinfeccion	Neg	neg	`nag	več	neg	neg	neg	neg	neg

LACN= Latex gamma-globulina anti-<u>C. neoformans</u> LGGN= Latex gamma-globulina normal de conejo DTT = Ditiotreitol

## BIBLIOGRAFIA

- 1) Ajello L. Georg LK, Kaplan W, Kaufman L, 1966. Laboratory Manual for Medical Mycology. U.S. Department of Health, Education and Welfare. CDC. Atlanta Georgia. pp E3-E20.
- Arenas G, Toriello C. 1986. Actividad inmunologica de antigenos miceliales y levaduriformes de diferentes fases de crecimiento de <u>Sporotirix achanciji</u>. Rev Mex Mic. 2:131-144.
- 3) Atkinson AJ, Bennett JE. 1968. Experience with a new skin test antigen prepared from <u>Cryptococcus neoformans</u>. Am Rev Resp Dis. 97:637-643.
- 4) Asznowicz R, Newton-John H, Kaldor J. 1979. Value of latex test in Cryptococcal meningitis. Med J Aust. 1:347 -349.
- 5) Bell WE. 1981. Treatment of Fungal Infectious of the Central Nervous System. Ann Neurol. 9:417-422.

  6) Bennett JE. 1971. Control for rheumatoid factor in the latex Test for cryptococcosis. A J C P. 56:360-365.
- 7) Bennett JE. 1978. Biochemical differences between serotypes of <u>Cryptococcus</u> neoformans. Sabouraudia. 16:167-174.
- 8) Bennett JE. 1981. Cryptocccal skin test antigen: preparation variables and caracterization. Infect Immun 32:373-380.
- 9) Berlin L, Pincus JH. 1989. Cryptococcal meningitis. False negative antigen tests results and cultures in nonimmunosuppressed patients. Arch Neurol. 46:1312-1316.
- 10) Bloomfield N, Gordon MA, Elmendorf DF. 1963. Detection of <u>Cryptococcus neoformans</u> antigen in body fluids by latex particle agglutination. Proc Soc Exp Biol Med. 114:64-67
- 11) Bodey GP, 1990. Fungal infectious in cancer patients-An overview. Pfizer International. Houston Texas.USA.
- 12) Bonifaz, A. Garibay, C. 1991. Estudio comparativo del diagnóstico micológico de la criptococosis meningea. Laborat-acta. 3:31-35.

- 13) Bonifaz A. 1990. Micología Médica Básica. Mendez-Cervantes. México DF.
- 14) Bottone EJ, Toma M, Johansson BE, Wormser GP. 1986. Poorly encapsulated <u>Cryptococcus neoformans</u> from patients with AIDS. I: Preliminary observations. AIDS Research.2:211-218.
- 15) Bottone EJ, Wormser GP. 1985. Capsule-deficient cryotococci in AIDS. Lancet. 553.
- 16) Byrne WR, Wojszczuk CP. 1988. Cryptococcal meningitis in the Acquired Immunodeficiency Syndrome (AIDS): Successful treatment with fluconazole after failure of amphotericin B. Ann of Intern Med. 108:384-385.
- 17) Cameron ML, Bartlett JA, Gallis HA, Waskin HA. 1991. Manifestations of Pulmonary Cryptococcosis in Patiens with Acquired Immnuodeficiency Syndrome. Rev Infect Dis. 13:64-67.
- 18) Carrada Bravo T, Del campo-Pérez M, Albarran Portilla MA, Carrillo Farga J. Estudio epidemiológico del <u>Cryptocpccus</u> <u>neoformans</u> en México. Rev Invest Sal Púb. 3:92-104.
- 19) Cochius JI, Burns RJ, Willoughby JO. 1989. CNS Cryptococcosis: Unusual aspects. Clin Exp Neurol. 26:183-191.
- 20) Concus AP, Helfand RF, Imber MJ, Lerner EA, Sharpe RJ. 1988. Cutaneous Cryptococcosis mimicking molluscum contagiosum in a patient with AIDS. J Infect Dis. 158:897-898.
- 21) Cutter IV, Janssen PAJ. 1991. Experimental Cryptococcosis. Abstracts X congress of the international society for human and animal mycology. Barcelona. RT5-1.
- 22) Desmet P, Kayembe KD, De Vroey C. 1989. The value of cryptococcal serum antigen screening among HIV-positive/AIDS patients in Kinshasa, Zaire. Current Science AIDS, 3:77-78.
- 23) Dismukes WE. 1988. Cryptococcal meningitis in patients with AIDS. J Infect Dis. 157:624-628.
- 24) Dolan CT. 1972. Specificity of the latexcryptococcal antigen test. A J C P. 58:358-364.

- 25) Dromer F. 1991. Role des Immunoglobulines G et du complément au cours de cryptococcoses. J Mycol Méd. 118:43-49.
- 26) Dromer F, Perronne C, Barge J, Vilde JL, Yeni P. 1989. Role of 1gG and complement component C5 in the initial course of experimental cryptococcosis. Clin Exp Immunol. 78:412-417.
- 27) Drouhet E, Dupont B. 1987. Evolution of antifungal agents: past, present, and future. Rev Infect Dis. 1:4-14.
- 28) Dubois M, Giles K, Hamilton K, Reber PA, Smith F. 1951. A colorimetric method for the determination of sugars. Nature. 168:167.
- 29) Dupont 8, 1989, Cryptococcosis. Rev Prat. 39:1663-1668.
- 30) Eng RH, Person A. 1981. Serum crystococcal antigen determination in the presence of rheumators factor. J Clin Microbiol. 14:700-702.
- 31) Ernst JF. 1989. Molecular genetics of pathogenic fungissome recent developments and perspectives. Mycoses. 33:225-229.
- 32) Fromtling RA, Abruzzo GK, Bulmer GS, 1986. Cryptococcus neoformans: Comparisons of in itro antifungal susceptibilities of serotypes AD and BC. Mycopathologia 94:27-30.
- 33) Fukazawa Y, Kagaya k. 1988. Host defence mechanisms against fungal infection. Microbiol Sci. 5:124-127.
- 34) Goodwin SD, Fiedler-Kelly J, Grasela TH, Schell WA, Perfect JR. 1992. A nationwide survey of clinical laboratory methodologies for fungal infections. J Med Vet Mycol. 30:153-160.
- 35) Gordon MA, Lapa E. 1971. Charcoal particle agglutination test for detection of antibody to <u>Cryptococcus</u> neoformans. Am J Clin Path. 56: 354-359.
- 36) Gordon MA, Lapa EW.1974. Eliminat:on of rheumatoid factor in the latex test for cryptococcosis. Am J Clin Path. 61:488-494.
- 37) Gordon MA, Vedder DK. 1966. Serologic tests in diagnosis and prognosis of cryptococcosis. J A M A. 197:131-

137.

- 38) Grant IH, Armstrong D.1988. Fungal Infections in AIDS: Cryptococcosis. Infect Dis Clin North Am. 2:457-464.
- 39) Gray LD, Glenn D. Roberts. 1988. Experience with the use pronase to eliminate interference factors in the latex agglutination test for cryptococcal antigen. J Clin Microbiol. 26:2450-2451.
- 40) Hall NK, Maluf KC, Blackstock R. 1984. Funtional testing and chemical composition of cryptococcal extracts. Sabouraudia. 22:439-442.
- 41) Hamilton JR, Noble A, Denning DW, Stevens DA. 1991. Performance of <u>Cryptococcus</u> antigen latex agglutination kits on serum and cerebrospinal fluid specimens of AIDS patients before and after promase treatment. J Clin Microbiol. 29:331-339.
- 42) Harrell WK, Ashworth H, Britt LE, Geroge JR, Gray SB, Green JH, Gross H, Johnson JE. 1976. Procedural Manual for Production of Bacterial, Fungal, Parasitic Reagents. US Department of Health, Education and Welfare. Public Health Service. CDC. Atlanta, Georgia. pp 103-106.
- 43) Hay RJ, Mackenzie DWR. 1982. False positive latex tests for cryptococcal antigen in cerebrospinal fluid. Letters to the editor. 244-245.
- 44) Hoy JF, Lewis DE, Miller GG. 1988. Funtional versus phenotypic analysis of T cells in subjects seropositive for the human immunodeficiency virus: A prospective study of in vitro responses to <u>Cryptococcus</u> neoformans. J Infect Dis. 138:1071-1078.
- 45) Hudson L, Hay FC. 1980. Practical Immunology. Blackwell Scientific Publications. Oxford.
- 46) Huppert M. 1983. Antigens. In: Howard DH. (Ed). Fungi pathogenic for human and animals. Marcel Dekker. New York. PP 254-258.
- A7) Ikeda R, Shinoda T, Furazawa Y, Kaufman L. 1982. Antigenic characterization of <u>Cryptococcus neoformans</u> serotypes and its application to serotyping of clinical isolates. J Clin Microbiol. 16:22-29.

- 48) Ikeda R, Nishikawa A, Shinoda T, Fukazawa Y. 1985. Chemical characterizaction of capsular polysaccharide from <a href="mailto:cryptococque">cryptococque</a> neoformans serotype A-D. Microbiol Immunol. 29,981-985.
- 49) Ikeda R. et al 1991. Comparison of serological and chemical characteristics of capsular polysaccharides of <u>C. neoformans</u> var. <u>neoformans</u> serotype A and <u>C. albidus</u> var. <u>albidus</u> Microbiol Immunol. 35:125-138.
- 50) Jones PD, Marriott D, Speed BR. 1989. Efficacy of fluconazols in cryptococcal meningitis. Diagn Microbiol Infect Dis. 12:235-238.
- 51) Kauffman CA, Bergman AG, Severance PJ, McClatchey KD. 1981. Detection of cryptococcal antigen. Comparison of two latex agglutimation tests. Am J Clin Pathol. 106-109.
- 52) Khakpour FR, Murphy JW. 1987. Characterization of a third-order supressor T cell (T83) induced by cryptococcal antigen(s). Infect Immun. 55:1657-1660.
- 53) Koeleman JG, Rustemeijer C, Wijermans PW, MacLaren DM. 1990. Cryptococcal meningo-encephalitis after prolonged corticosteroid therapy. Neth J Med. 36:1242-245.
- 54) Koneman, E W. 1985. Diagnostico Microbiológico. Panamericana, México DF. 429-469
- 55) Kovacs JA, Kovacs AA, Polis M, Wright WC, Gill VJ, Tuazon CU, Gelmann EP, Lane HC, Longfield R, Overturf G. Macher AM, Fauci AS, Parrillo JE, Bennett JE, Masur H. 1925 Cryptococcosis in the Acquired Immunodeficiency Syndrome. Ann Intern Med. 103: 533-538.
- 56) Kovacs JA, Masur H. 1988. Oportunistic infections. In: De Vita VT, Hellman S, Rosenberg SA. (Eds). AIDS. Etiology, Diagnosis, Treatment and Prevention. JB Lippincott Company. Philadelphia. pp 199-211.
- 57) Kozel TR. 1989. Antigenic structure of <u>Cryptococcus</u> neoformans capsular polysaccharides. In: Kurstak E (Ed). Immunology of Fungal Diseases. Marcel Dekker. New York. 63-85.
- 58) Kozel TR, Gulley WF, Cazin J. 1977. Immune response to <u>Cryptococcus</u> <u>neofcrmans</u> soluble polysaccharide: Immunological unresponsiveness. Infect Immun. 18:701-707.

- 59) Kozel TR. Pfrommer GST, Guerlain AS, Highison BA, Highison GJ 1988. Role of the capsule in phagocytosis of Gryptogacus neoformans. Rev Infect Dis. 10:436-437.
- 60) Kwon-Chung KJ, Rhodes JC. 1986. Encapsulation and melanin formation as indicators of virulence in <u>Cryptococcus</u> neoformans. Infect Immun. 51:1218-223.
- 61) Kwon-Chung KJ. 1976. Morphogenesis of <u>Filobasidie)18</u>, the perfect state of <u>Crypyocorcus</u> neoformans. Mycologia. 681942-946
- 62) Laroche R, Dupont B, Touze JE, Taelman H, Bogaerts J, Kadio A, M'Pele P, Latif A, Aubry P, Durbec JP, Sauniere JF. 1992. Cryptococcal meningitis associated with acquired immunodeficiency syndrome (AIDS) in African patients: treatment with fluconazole J Med Vet Mycol. 30:71-78.
- 63) Lauter C B. 1977. Commercial test sensitivity to cryptococcal antigen. Ann intern Med. 86:240.
- 64) Li ND. 1989. Cryptococcal granuloma of the brain. Reprot of 7 cases. Chung-Hua-Wai\_Ko-Tsa-Chih. 27:472-473, 509.
- 65) Loaira Loeza MS. 1988. Criptococosis. Infectología. 8:387-395.
- 66) Lowry CH, Rosebrough NJ, Parr AL, Randall RJ. 1951. Protein-measurement with folin phenol reagent. J Biol Chem. 193: 265-275.
- 67) Nakamura Y, Ishizaki H, Wheat RW. 1977. Serological cross reactivity between group 5 <u>Streptococcus</u>, <u>Sporothrix</u> <u>schanckii</u>, <u>Ceratocystis</u> y <u>Graphium</u> species. Infect Immun. 16: 547-549.
- 68) Mackenzie DWR. 1983. Serodiagnosis. In: Howard DH. (Ed). Fungi pathogenic for human and animals. Marcel Dekker. New York. pp 254-258.
- 69) Meunier F. 1990. Current progress in antifungal therapy: the value of fluconazole. Rev Med Brux. 11:278-282.
- 70) McManus EJ, Jones JM. 1985. Detection of a Trichosporon beigelii antigen cross-reactive with Cryptopoccus neofornans capsular polysaccharide in serum from a patient with disseminated Trichosporon infection. J Clin Microbiol. 21:681-685

- 71) Min kH, Kwon-Chung KJ. 1986. The biochemical basis for the distinction between the two <u>Cryptococus peoformans</u> varieties with CGB medium. Zbl Bakt Hyg. 261:471-480.
- 72) Mody CH, Lipscomb MF, Street NE, Toews GB. 1990. Depletion of CD4+ (L3T4+) lymphocytes in vivo impairs murine host defense to <u>Cryptococcus peoformans</u>. J immunol. 144:1472-1477.
- 73) Murphy JW, Gregory JA, Larsh HW. 1974. Skin testing of guinea pigs and footpad testing of mice with a new antigen for detecting delayed hypersensitivity to <u>Crystococcus</u> neoformans. Infect Immun. 9:404-409.
- 74) Murphy JW, Pahlavan N. 1979. Cryptococcal culture filtrate antigen for detection to delayed type hypersensitivity in cryptococosis. Infect Immun. 25:284-292.
- 75) Murphy JW. 1991. Mechanisms of natural resistance to human pathogenic fungi. Annu Rev Microbiol. 45:507-538.
- 76) Murphy J W. 1988. Influence of cryptococcal antigens on cell-mediated immunity. Rev Infect Dis. 10:432-435.
- 77) Murphy JW, Cox RA. 1988. Induction of antigen specific suppression by circulating <u>Cryptococcus neoformans</u> antigen. Clin Exp Immunol. 73:174-180.
- 78) Murphy JW. Immunoregulation in Cryptococcosis. 1989. In: Kurtak E (Ed). Immunology of fungal diseases. Marcel Dækker. New York. pp 319-345.
- 79) Murphy JW, Mosley RL.1985. Regulation of cell-mediated immunity in cryptococcosis.III. Characterization of second-order T suppressor Cell (Ts2). Am Assoc Immunolog.134:577-583.
- 80) Nismhom S, Petchclai B, Pupaibul K, Waropastrakul C. 1990. Evaluation of latex cryptococcal agglutination test in cryptococcal meningitis. J Med Assoc Thai. 73:12-15.
- 81) Palmer DF, Kauffman L, Kaplan W, Cavallaro JP. 1977. Serodiagnosis of Mycotic Diseases. Charles C Thomas. Springfield, Illinois. pp 94-106.
- 62) Pérez MA, Toriello C. 1989. Condiciones óptimas para la producción de antigenos de <u>Asperolllus fumigatus</u>, <u>A. niver</u> y <u>A. flavus</u> para el diagnóstico serológico de la aspergilosis. Rev Mex Mic. 5:261-271.

## ELLA TESIS NO DEBE SALIR DE LA BIDLIOTECA

- 83) Payne AL, Teall AJ. 1989. <u>Trichosporon beigelii</u> infection in an immunocompromised host. Mycoses. 32:183-186.
- 84) Polacheck I, Hearing VJ, Kwon-Chung KJ. 1982
  Biochemical studies of phenoloxidase and utilization of catecholamines in Cryptococus neoformans. J
  Bacteriol.1501;212-1220.
- 95) Polak A. 1989. Melanin as a virulence factor in phatogenic fungi, Mycoses.33:215-223.
- 86) Prevost E, Newell R. 1978. Commercial cryptococcal latex kit: Clinical evaluation in a Medical Center Hospital. J Clin Microbiol. 8:259-533.
- 87) Repentigny LD. 1989. Circulating antigens in systemic fungal diseases. 471-480.
- 88) Rhodes JC, Polacheck I, Kwon-Chung KJ. 1982. Phenoloxidese activity and virulence in isogenic strains of <a href="https://creativecommons.org/limits-1184">Cryotococcus neoformans.Infect Immun. 36:1175-1184</a>.
- 89) Rippon JW. 1990. Tratado de Micología. Interamericana-Mc Graw Hill. México DF.
- 90) Sekhon A S, Bannerjee SN, Mielke BM, Idikio H, Wood G, Dixon JMS: 1990. Current status of cryptococosis in Canada. Mycoses. 33:73-80.
- 91) Schmutzhard E. 1988. Treatment of cryptococcal meningitis with high-dose long-term combination amphotericin B and fluvtosine. Ame J Med. 85:737-738.
- 92) Scholer HJ. 1985. Diagnosis of cryptococcosis and monitoring of chemiotherapy. Mykosen. 28:5-16.
- 93) Shadomy H J, Wood-Helie S, Shadomy S, Dismukes WE, Chau RY. 1987. Biochemical serogrouping of clinical isolates of <u>Cryptococcus neoformans</u>. Diag Microbiol Infect Dis. 4:131-138.
- 94) Simberkoff MS, Zuger A. 1988. Cryptococcosis in patients with Acquired Immunodeficiency Syndrome. In: De Vita V, Hellman S, Rosenberg SA. (Eds). AIDS. Etiology, Diagnosis, Treatment and Prevention. JB Lippincott. New York. 267-284.

- 95) Staib F. 1988. <u>Cryptococcus neoformans</u> and cryptococcosis historical background. Abstracts X congress of the international society for human and animal mycology.pag 5.
- 96) Staib F, Scibold M, L'age M, Heise W, Skörde J, Grosse G, Nürnberger F, Bauer G. 1989. <u>Cryptococcus neoformans</u> in the seminal fluid of an AIDS patient. A contribution to the clinical course of cryptococcosis. Mycoses. 32:171-180.
- 97) Staib F, Seibold M, L'age M. 1990. Persistence of <u>Cryptococcus neoformans</u> in seminal fluid and urine under itraconazole treatment. The urogenital tract (prostate) as a niche for <u>Cryptococcus</u> neoformans. Mycoses. 33:369-373.
- 98) Staib F, Seibold M. 1989. Use of the membrane filtration technique and Staib agar for the detection of <a href="https://example.com/creative-technique-t
- 99) Stockman L, Glenn DR. 1983. Corrected version. Specificity of the latex test for cryptococcal antigen: A rapid, simple method for eliminating interference factors. J Clin Microbiol. 17: 945-947.
- 100) Sugar AM, Stern JJ, Dupont B. 1990. Overview: treatment of Cryptococcal meningitis. Rev Infect Dis. 3:338-348.
- 101) Viviani MA, Tortorano AM. 1988. Management of cryptococcosis in AIDS patients. Abstracts of the X congress of the international society for human and animal mycology. Barcelona.pp RT17-1
- 102) Walsh TJ, Hier DB. Caplan LR. 1985. Fungal infection of the central nervous system:Comparative analysis of risk factors and clinical signs in 57 patients. Neurology. 35:1654-1657.
- 103) Washton H. 1989. Review of fluconazole: A new triazole antifungal agent. Diagn Microbiol Infect Dis. 12:229-233.
- 104) White CW, Jacobson ES. 1990. Side group addition by xylosyltransferase and glucoronyltransferase in biosynthesis of capsular polysaccharide in <u>Cryptococcus neoformans</u>. J Med Vet Mycol. 28: 289-301.